

เอกสารอ้างอิง

1. Bares,R., and Massonet,C., Analysis of Beam Grids and Orthotropic Plate, Crosby Lockwood and Son Ltd.,London, 1966
2. West,P.E., "A Finite Element Solution to Skew Slab Problem," Civil Engineering and Public Works Review, Vol 61, No.718, May 1966, pp. 619-624
3. Sawko,F., and Cope,R.J., "The Analysis of skew Bridge Deck," A New Finite Element Approach, The Structural Engineer, Vol 47 ,No.6, June 1969, pp. 215-224
4. Sawko,F., and Morley,W.H., "Grillage Analysis of composite Box Girder Bridge Deck," Civil Engineering and Public Works Review, Vol.69, No.759, October 1969
5. Brettle,H.J., "Elastic Analysis of Plane Grids by the Integrated Civil Engineering System," Civil Engineering Transactions ,Vol. CE12, No.1, April 1970, pp.43-48
6. HO, C.T. "Grid Analysis of Orthotropic Plates," Thesis No. 351 , Asian Institute of Technology ,Bangkok ,Thailand 1971
7. Hambly,E.C., Bridge Deck Behaviour, John Wiley and Son Inc. 1976
8. Standard Specification for Highway, American Association of State Highway and Transportation Officials (AASHTO), 13th ed,1983
9. West,R., "The Use of a Grillage Analogy for the Analysis of slab and Pseudo-Slab Bridge Deck," Reserch Report 41.021,Cement and Concrete Association,London,1973

ภาคผนวก



ภาคผนวก ก.

## แนวทางการจำลอง โครงสร้างกริดสำหรับโครงสร้างส่วนคอนกรีต

### ก.1 โครงสร้างส่วนคอนกรีตแบบมีเส้น-ตาน

พฤติกรรมของ โครงสร้างส่วนคอนกรีตที่ประกอบด้วยคานและแผ่น แสดง “ในรูปที่ ก.1 ซึ่งมีลักษณะเป็นคานหลาชฯ ตัววางเรียงกัน และมีแผ่นเส้นต่อเนื่องระหว่างทางระหว่างคาน ภายในรูปที่ ก.1 ซึ่งมีลักษณะเป็นคานหลาชฯ ตัววางเรียงกัน และมีแผ่นเส้นต่อเนื่องระหว่างทางระหว่างคาน ภายในรูปที่ ก.1 ซึ่งมีลักษณะเป็นคานหลาชฯ ตัววางเรียงกัน และมีแผ่นเส้นต่อเนื่องกันตามแนวขอบของปีกคาน จาвлักษณะของพฤติกรรมดังกล่าวสัตโนห์เนลของแผ่นเส้นจะมีประวัติเชิงเส้น ลักษณะ ล้วนที่ถูกัดไปพร้อมกับคานเท่านั้น” รูปที่ ก.2 แสดงชิ้นล้วนเล็ก ๆ ของโครงสร้างภายใต้ น้ำหนักกระทำ  $dW$  ซึ่งทำให้เกิดโมเมนต์ตัด  $M_x$  แรงเฉือน  $V_x$  และโมเมนต์บิด  $M_y$  ในแนวแกน X ของชิ้นล้วน ขณะที่เกิดโมเมนต์ตัด  $M_y$  แรงเฉือน  $V_y$  และโมเมนต์บิด  $M_x$  ในแนวแกน Y ของชิ้นล้วน สมการสมดุลย์ของแรงต่างๆ สามารถเขียนได้เป็น

$$\Delta S_x + \Delta S_y = -W\Delta X \Delta Y$$

$$\Delta M_x + \Delta T_y = S_x \Delta X \quad (ก.1)$$

$$\Delta M_y + \Delta T_x = S_y \Delta Y$$

พิจารณา  $\Delta M_x$  ในรูปที่ ก.3 ซึ่งแสดงแรงภายใต้ชิ้นล้วนของ โครงสร้างกริดระนาบ พบว่า แรงภายใต้ชิ้นล้วนของ โครงสร้างกริดระนาบมีลักษณะสอดคล้องกับแรงภายใต้ชิ้นล้วนของ โครงสร้างส่วนคอนกรีตที่ได้แสดง “ในรูปที่ ก.2” ดังนี้ การกำหนดขนาดที่เหมาะสมของชิ้นล้วน “ในโครงสร้างกริดระนาบ โดยพิจารณาจาก โครงสร้างจริงข้อมูลผลการวิเคราะห์ที่สอดคล้องกับพฤติกรรมของ โครงสร้างส่วนคอนกรีตจริง” ซึ่งเป็นผลให้องค์ความใน โครงสร้างกริดระนาบประกอบ

ด้วยความและแผ่นพื้นบางส่วนจากโครงสร้างเดิม และค่าคุณสมบัติต่าง ๆ ขององค์อาคารดังกล่าวสามารถคำนวณได้โดยตรงจากลักษณะหน้าตัดขององค์อาคารนี้ ๆ

### ก.2 โครงสร้างส่วนของภาระปะกล่อง

ในรูปที่ ก.4 แสดงลักษณะการเปลี่ยนแปลงรูปร่างของหน้าตัดส่วนนี้ปะกล่องภายใต้หนักกระทำ ซึ่งสามารถแยกลักษณะของการเปลี่ยนแปลงรูปร่างออกเป็น 4 ลักษณะคือ การเปลี่ยนแปลงรูปร่างเนื่องจากการตัดทางขวา การเปลี่ยนแปลงรูปร่างเนื่องจากการตัดทางซ้าย การเปลี่ยนแปลงรูปร่างเนื่องจากการบิด และการเปลี่ยนแปลงรูปร่างเนื่องจากการบิดเบี้ยว จากลักษณะพฤติกรรมของโครงสร้างส่วนดังกล่าวข้างต้นสามารถที่จะจำลองโครงสร้างกริดฐาน "ให้มีพฤติกรรมภายใต้หนักบรรทุกสอดคล้องกับพฤติกรรมของโครงสร้างส่วนจริงได้ ดังจะกล่าวต่อไป

#### ก.2.1 การตัดทางขวา

พฤติกรรมเนื่องจากการตัดทางขวาคิด เสมือนหน้าตัดทึ่งหมดประกอบด้วยคานหน้าตัดรูปตัว "ไอ" หลาย ๆ ตัว โดยคานแต่ละตัวมีตำแหน่งของจุดศูนย์ถ่วงอยู่ที่ระดับเดียวกัน ดังแสดงในรูปที่ ก.5 ทึ่งนี้เนื่องจากภายในตัวมีแรงต้านตัวทึ่งหมดจะถูกตัดไปทำให้มีรัศมีความโค้งเท่า ๆ กันโดยที่คานหน้าตัดรูปตัว "ไอ" แต่ละตัวจะไม่สามารถเอียงตัวเป็นอิสระต่อกันได้ ดังนั้นหน่วยแรงที่เกิดขึ้นเนื่องจากโมเมนต์ตัดทางขวาจึงประกอบด้วย หน่วยแรงดัดและหน่วยแรงเฉือน ดังแสดงในรูปที่ ก.6 ซึ่งค่าหน่วยแรงทั้งสองสามารถคำนวณได้จากสมการต่อไปนี้

$$\sigma = Mz/I \quad (\text{ก.2})$$

และ

$$S = VAz/Ib \quad (\text{ก.3})$$

โดยที่  $\sigma$  = หน่วยแรงดัด

$S$  = หน่วยแรงเฉือน

M = โนเมนต์ดัดที่เกิดขึ้นในคานหน้าตัดรูปตัวไอ

V = แรงเฉือนในหัวตัดที่เกิดขึ้นเนื่องจากโนเมนต์ดัด

A = พื้นที่ของล่วนที่วัดจากระนาบที่ต้องการคำนวนหาหน่วยแรงเฉือนถึงระนาบอิสระ

Z = ระยะระหว่างจุดศูนย์กลางของคานหน้าตัดรูปตัวไอและพื้นที่ A

I = โนเมนต์อินเนอร์เชียร์ของแกนคันย์ล่วงของคานหน้าตัดรูปตัวไอ

b = ความกว้างของระนาบที่ต้องการคำนวนหาหน่วยแรงเฉือน

### ก.2.2 การดัดทางชวาง

กฎติกรรมการดัดทางชวางแสดง "ในรูปที่ ก.7 ซึ่งการดัดจะเกิดขึ้นกับแผ่นเม็ดด้านบน และด้านล่าง รอบจุดศูนย์กลางของแผ่นเม็ดทั้งสอง ดังที่โนเมนต์อินเนอร์เชียขององค์อาคารทางชวางในโครงสร้างกริดระนาบสามารถคำนวณจากการ

$$i = (h_t^2 d_t + h_b^2 d_b)$$

$$= h^2 d_t d_b / (d_t + d_b) \quad \text{ต่อหนึ่งหน่วยความกว้าง} \quad (\text{ก.4})$$

โดยที่  $d_t$ ,  $d_b$ ,  $h_t$ ,  $h_b$  และ  $h$  หมายถึงมิติต่างๆ ดังแสดง "ในรูปที่ ก.7 และ "ในการนี้ที่องค์อาคารทางชวางในโครงสร้างกริดระนาบประกอบด้วยคานชวาง โนเมนต์อินเนอร์เชียในสมการที่ ก.4 จะต้องรวมโนเมนต์อินเนอร์เชียของคานชวางเข้าไว้ด้วย

### ก.2.3 การบิด

เมื่อพิจารณาผลของการบิด โดยไม่เกิดการบิดเบี้ยวในหน้าตัดรูปกล่อง ดังแสดง "ในรูปที่ ก.4(ง) จะทำให้เกิดแรงเฉือน "ในหน้าตัดดังแสดง "ในรูปที่ ก.8(ก) และเมื่อโครงสร้างกริดระนาบถูกบิดไป "ในลักษณะเดียวกันจะเกิดแรงภายในดังแสดง "ในรูปที่ ก.8(ข) ซึ่งแรงบิดด้านทั้งหมดของคานหน้าตัดจะเกิดจากล่วนของแรงบิดด้านในองค์อาคารทางชวางและล่วนของแรงเฉือนที่มีค่าทางตรีigon กันในแต่ละด้านของหน้าตัด ซึ่งแรงเฉือนนี้จะอยู่ "ในสมดุลยกับแรงบิดด้านใน

องค์อุปกรณ์ทางชลประทานดังแสดงในรูปที่ ก.8(ค) พิจารณาที่ ก.9 พบว่า ระบบของแรงในโครงสร้างก่อสร้างมีความสอดคล้องกับระบบของแรงในหน้าตัดรูปกล่อง โดยที่แรงบิดในองค์อุปกรณ์ทางชลประทานของโครงสร้างก่อสร้างสอดคล้องกับแรงบิดเนื่องจากแรงเฉือนไม่แผ่นแน่นและล่างของหน้าตัดรูปกล่อง ขณะที่แรงเฉือนในโครงสร้างก่อสร้างสอดคล้องกับแรงเฉือนไม่แผ่นเอวของหน้าตัดรูปกล่อง

จากเหตุผลข้างต้นค่าสัตโนห์ที่ได้ต้านทานการบิดขององค์อุปกรณ์ทางชลประทานและทางชลประทานในโครงสร้างก่อสร้างที่พิจารณาใช้แผ่นแน่นและล่างในหน้าตัดรูปกล่องมีผลต่อรูปแบบค่าความมีค่าเป็น  $1/2$  เท่าของค่าสัตโนห์ที่ต้านทานการบิดของ Saint Venant ซึ่งจะมีค่าเป็น

$$c = 2(h_t^2 d_t + h_b^2 d_b) \quad (\text{ก.5})$$

ต่อหนึ่งหน่วยความกว้างของแผ่น

และค่าสัตโนห์ที่รับแรงเฉือนขององค์อุปกรณ์ทางชลประทานในโครงสร้างก่อสร้างมีค่าเท่ากับหนึ่งที่ของแผ่นเอวในหน้าตัดรูปกล่อง

#### ก.2.4 การบิดเนื้อ

การเปลี่ยนแปลงรูปร่างเนื่องจากการบิดเบี้ยวของหน้าตัดรูปกล่องจะมีลักษณะคล้ายคลึงกับการเปลี่ยนแปลงรูปร่างเนื่องจากแรงเฉือนของโครงสร้างห้อง Vierendeel ดังแสดงในรูปที่ ก.10(ก) ดังนี้การกำหนดพื้นที่หน้าตัดรับแรงเฉือนขององค์อุปกรณ์ทางชลประทานในโครงสร้างก่อสร้างที่สามารถคำนวณจากความล้มเหลวระหว่างแรงเฉือนในแนวตั้งและการเปลี่ยนตำแหน่งเนื่องจากแรงเฉือน อาศัยทฤษฎีการวิเคราะห์โครงสร้างซึ่งแรงเฉือนต่อหนึ่งหน่วยความกว้างของหน้าตัดรูปกล่องสามารถประมาณได้จากสมการ

$$S = (d_t^3 + d_b^3) [d_w^3 l / (d_w^3 l + (d_t^3 + d_b^3) h)] E W_s / l^3 \quad (\text{ก.6})$$

โดยที่  $d_t$ ,  $d_b$ ,  $d_w$ ,  $l$  และ  $h$  หมายถึงมิติตั้งแสดงในรูปที่ ก.10

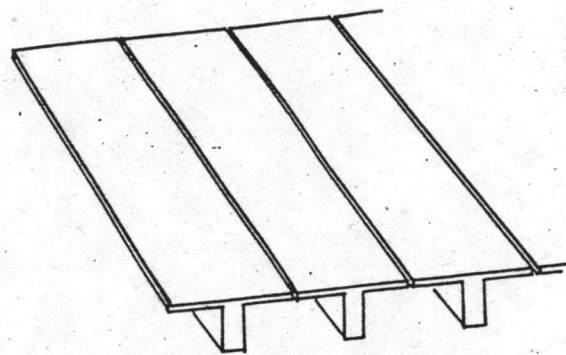
และสำหรับโครงสร้างกริดระนาบความล้มเหลวระหว่างแรงเฉือนและการเปลี่ยนตำแหน่งเนื่องจากแรงเฉือนสามารถเขียนเป็น

$$S = a_s G W_s / l \quad (ก.7)$$

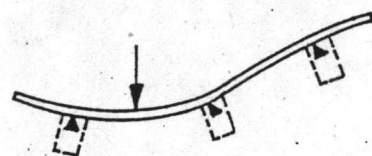
โดยที่  $a_s$  = พื้นที่รับแรงเฉือนขององค์อาคารในโครงสร้างกริดระนาบ  
จากการเท่ากันของสมการที่ ก.6 และ ก.7 สามารถที่จะหาค่าของพื้นที่รับแรงเฉือนขององค์อาคารทางช่วงในโครงสร้างกริดระนาบได้เป็น

$$a_s = (d_t^3 + d_b^3) [d_w^3 l / (d_w^3 + (d_t^3 + d_b^3) h)] E / G l^2 \quad (ก.8)$$

ต่อหน่วยหน่วยความกว้าง

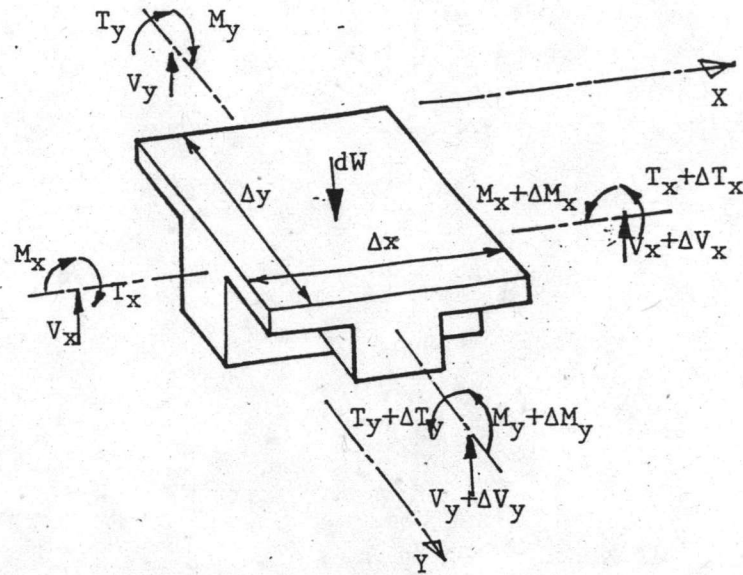


(ก) การตัดทางขวา

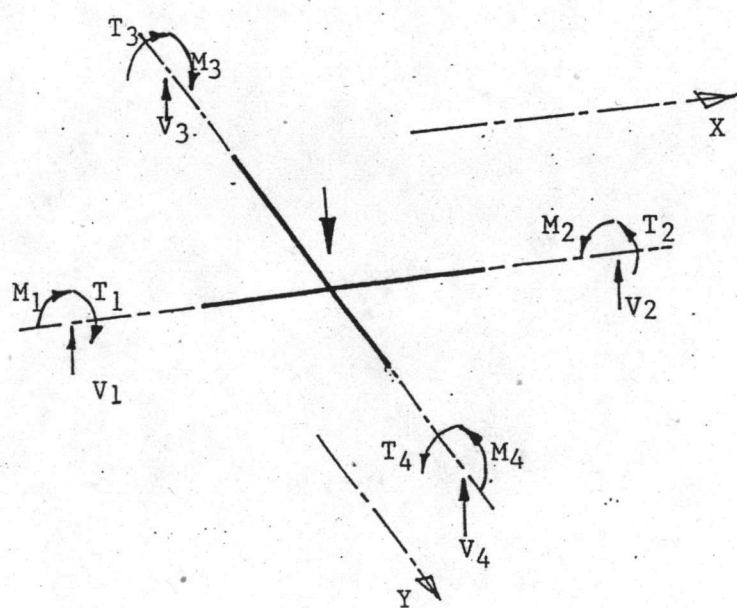


(ข) การตัดทางซ้าย

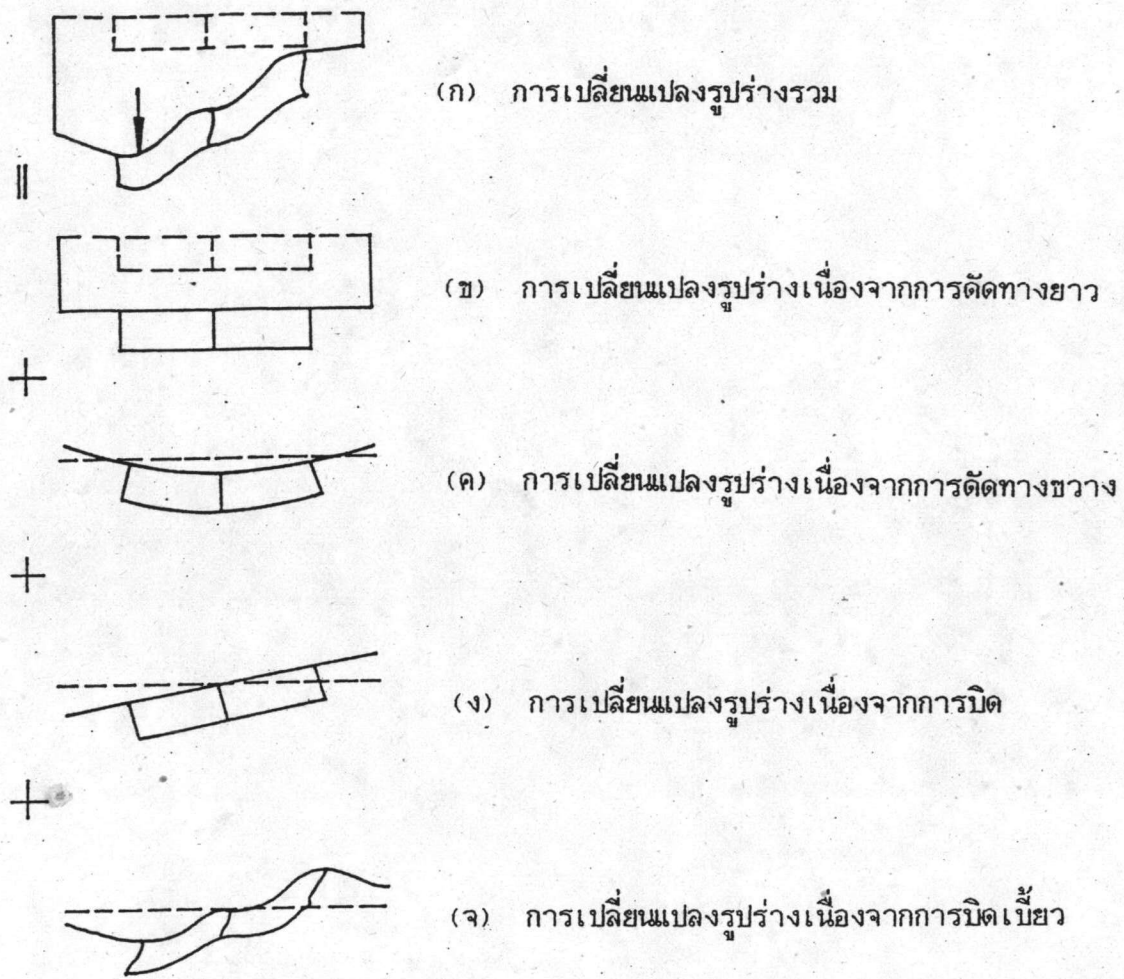
รูปที่ ก.1 พฤติกรรมร่วมระหว่างคานและแผ่นในโครงสร้างลamine ของวีต  
แบบพื้น-คาน



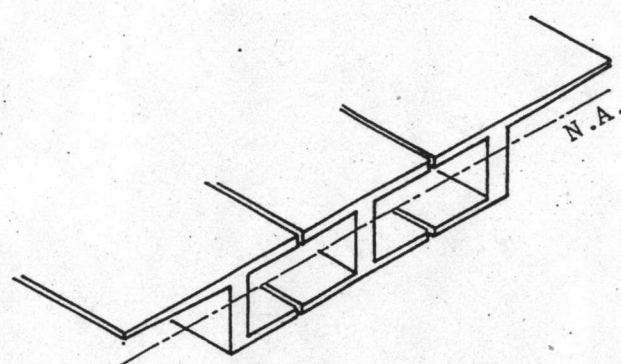
รูปที่ ก.2 พฤติกรรมบริเวณจุดต่อในโครงสร้างลักษณะของวีทชันนิดค่าและแผ่นพื้น  
ภายใต้น้ำหนักบรรทุก



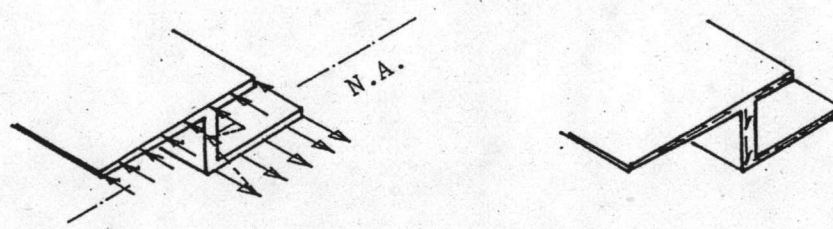
รูปที่ ก.3 พฤติกรรมบริเวณจุดต่อในโครงสร้างกริดระนาบภายใต้น้ำหนักบรรทุก



รูปที่ ก.4 ลักษณะการเปลี่ยนแปลงรูปร่างของโครงสร้างรูปกล่อง



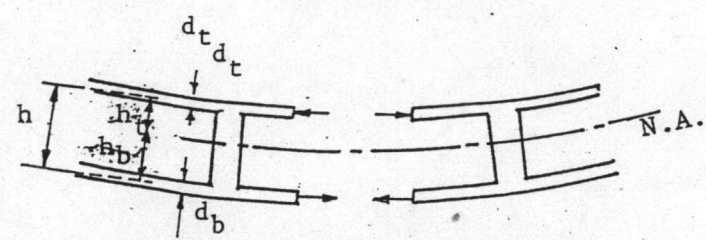
รูปที่ ก.5 การพิจารณาชิ้นส่วนเทียบเท่าในโครงสร้างรูปกล่อง



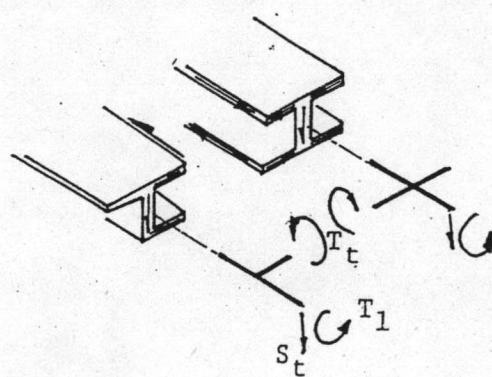
(ก) หน่วยแรงดัน

(ข) หน่วยแรงเฉือน

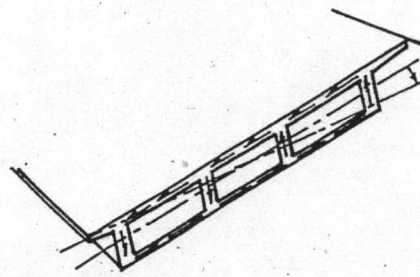
รูปที่ ก.6 หน่วยแรงในชิ้นส่วนเทียบเท่าเนื่องจากการตัดทางยาว



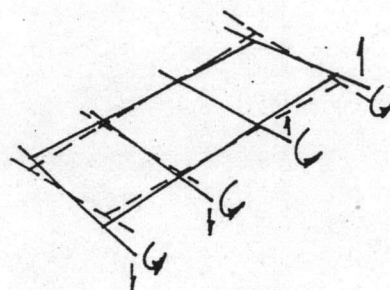
รูปที่ ก.7 พฤติกรรมของโครงสร้างรูปกล่องภายใต้การดัดทางช่วง



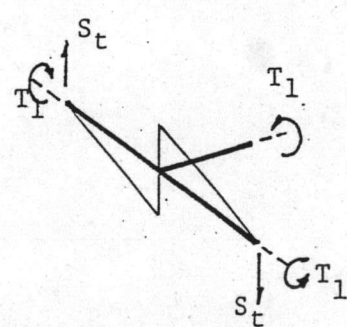
รูปที่ ก.9 การเทียบเท่าของแรงภายในโครงสร้างรูปกล่องและโครงสร้างกริดระนาบ



(ก) แรงเฉือนในชิ้นส่วนเที่ยบเท่าของโครงสร้างรูปกล่อง

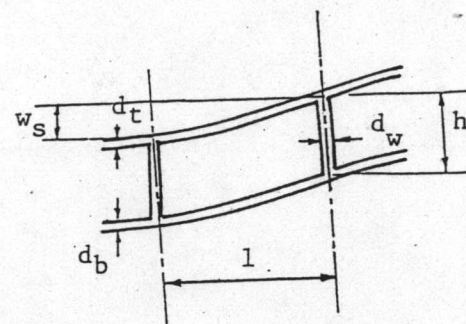


(ข) แรงบิดและแรงเฉือนในชิ้นส่วนของโครงสร้างกริดระนาบ

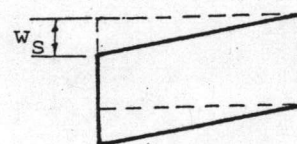


(ค) สเมดูลาร์ระหว่างแรงบิด ในชิ้นส่วนทางซวางและแรงเฉือนในชิ้นส่วนทางขวาของโครงสร้างกริดระนาบ

รูปที่ ก.8 พฤติกรรมของโครงสร้างรูปกล่องและโครงสร้างกริดระนาบ  
เนื่องจากการบิด



(ก) การบิดเบี้ยวของโครงสร้างรูปกล่อง

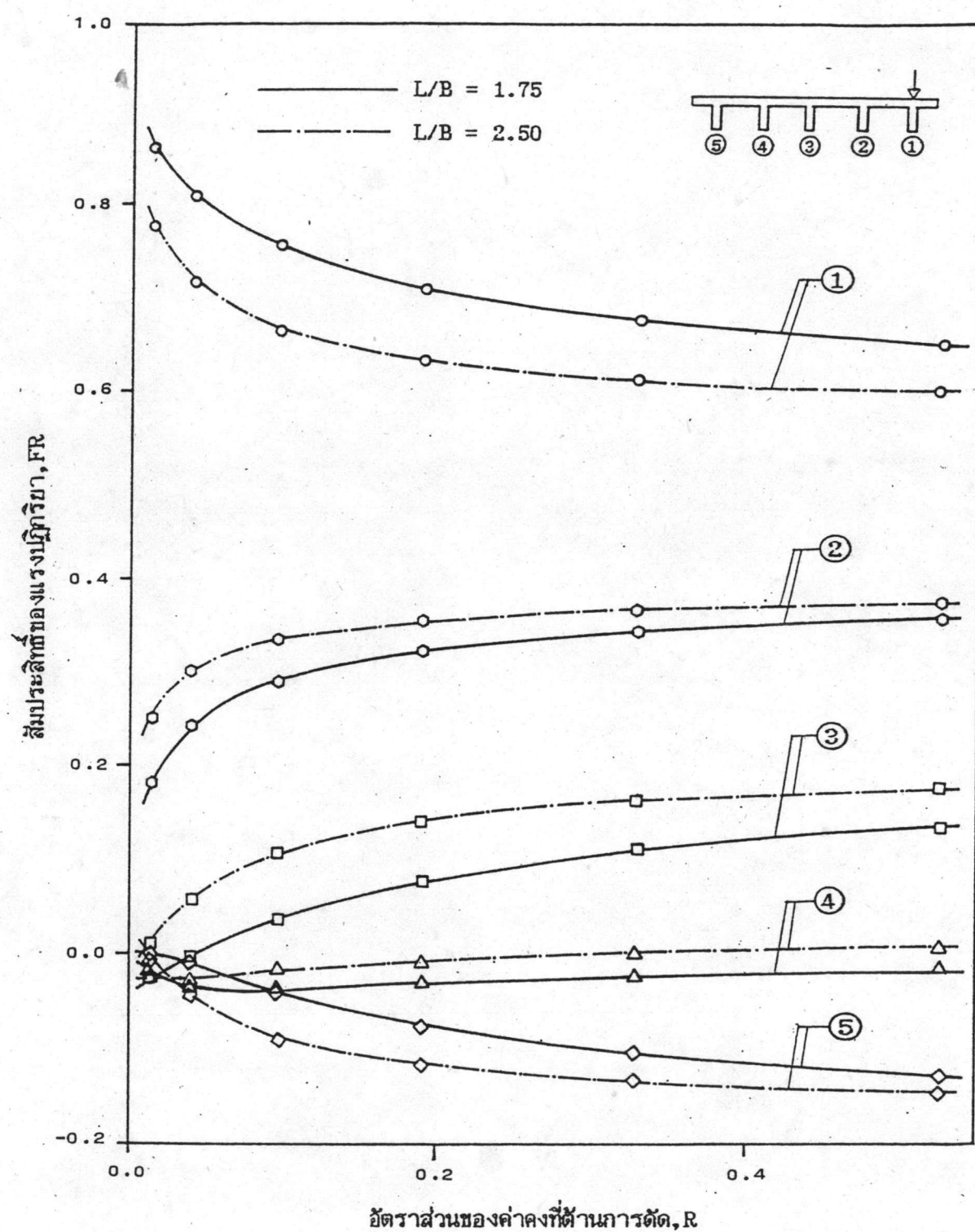


(ข) การเปลี่ยนแปลงรูปร่างของชิ้นส่วนในโครงสร้างกริดระนาบเนื่องจากแรงเฉือน

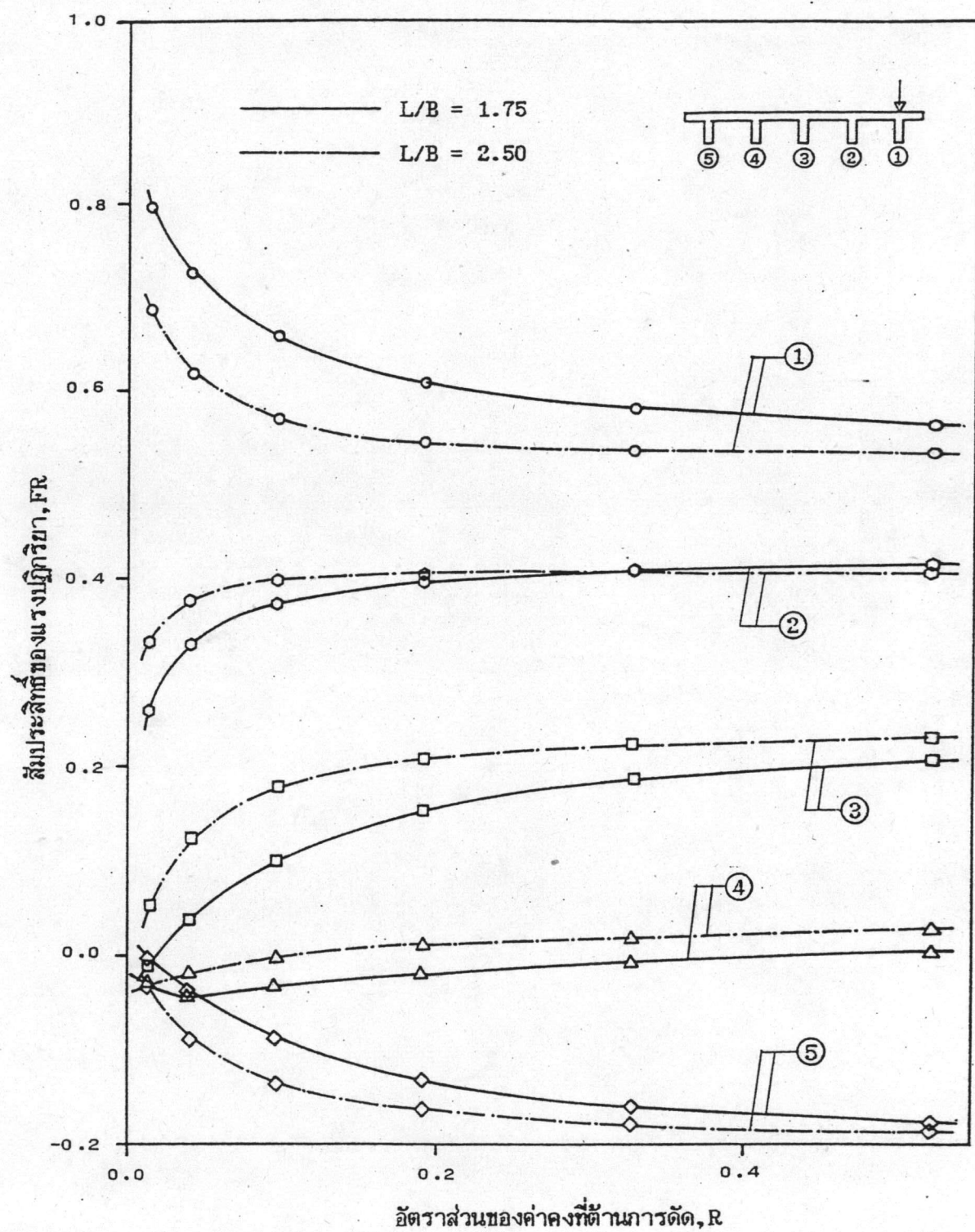
รูปที่ ก.10 การเปลี่ยนแปลงรูปร่างของโครงสร้างรูปกล่องเนื่องจากการบิดเบี้ยว และการเปลี่ยนแปลงรูปร่างของชิ้นส่วนในโครงสร้างกริดระนาบเนื่องจากแรงเฉือน

ภาคผนวก ช.

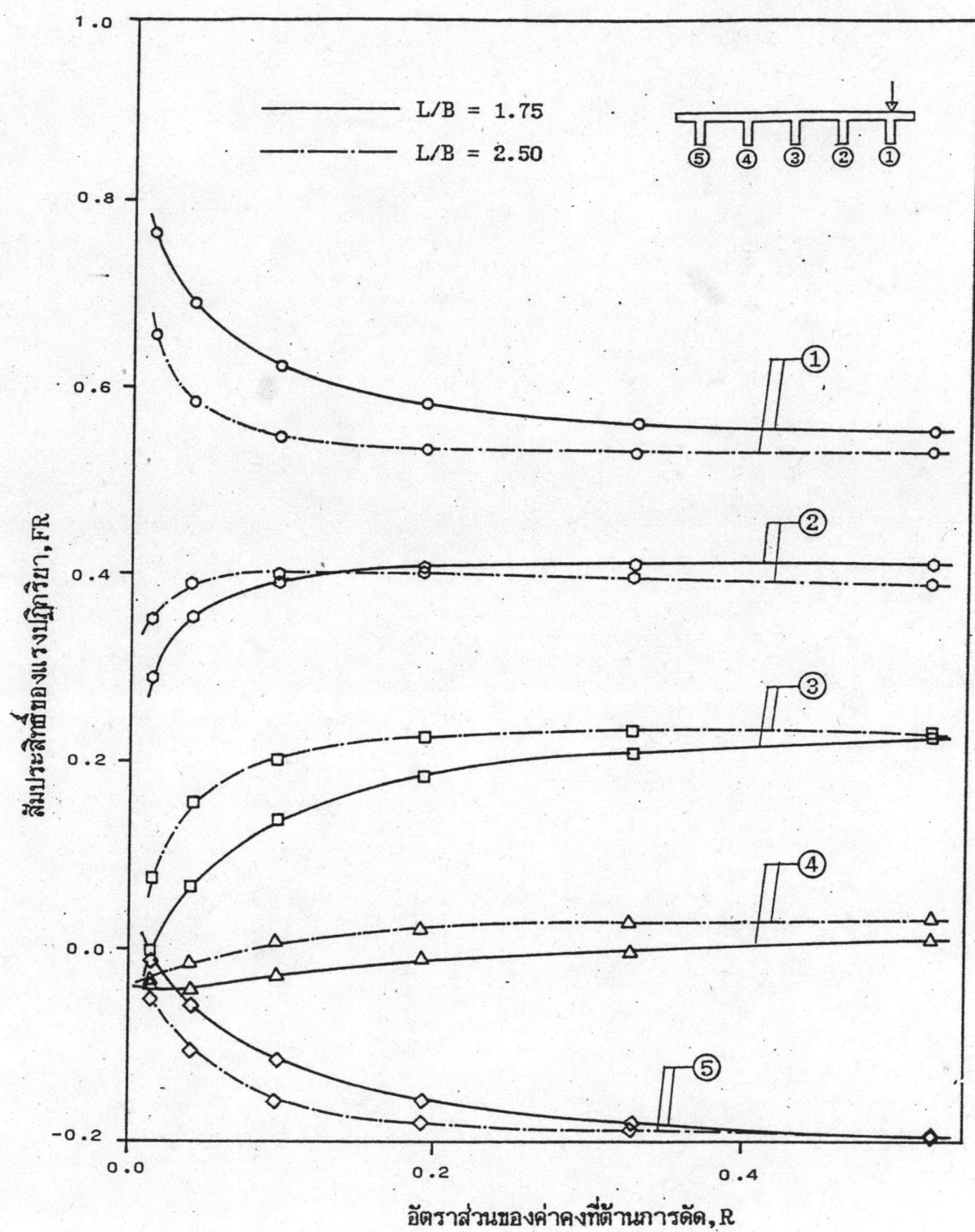
กราฟของความลับมัพน์



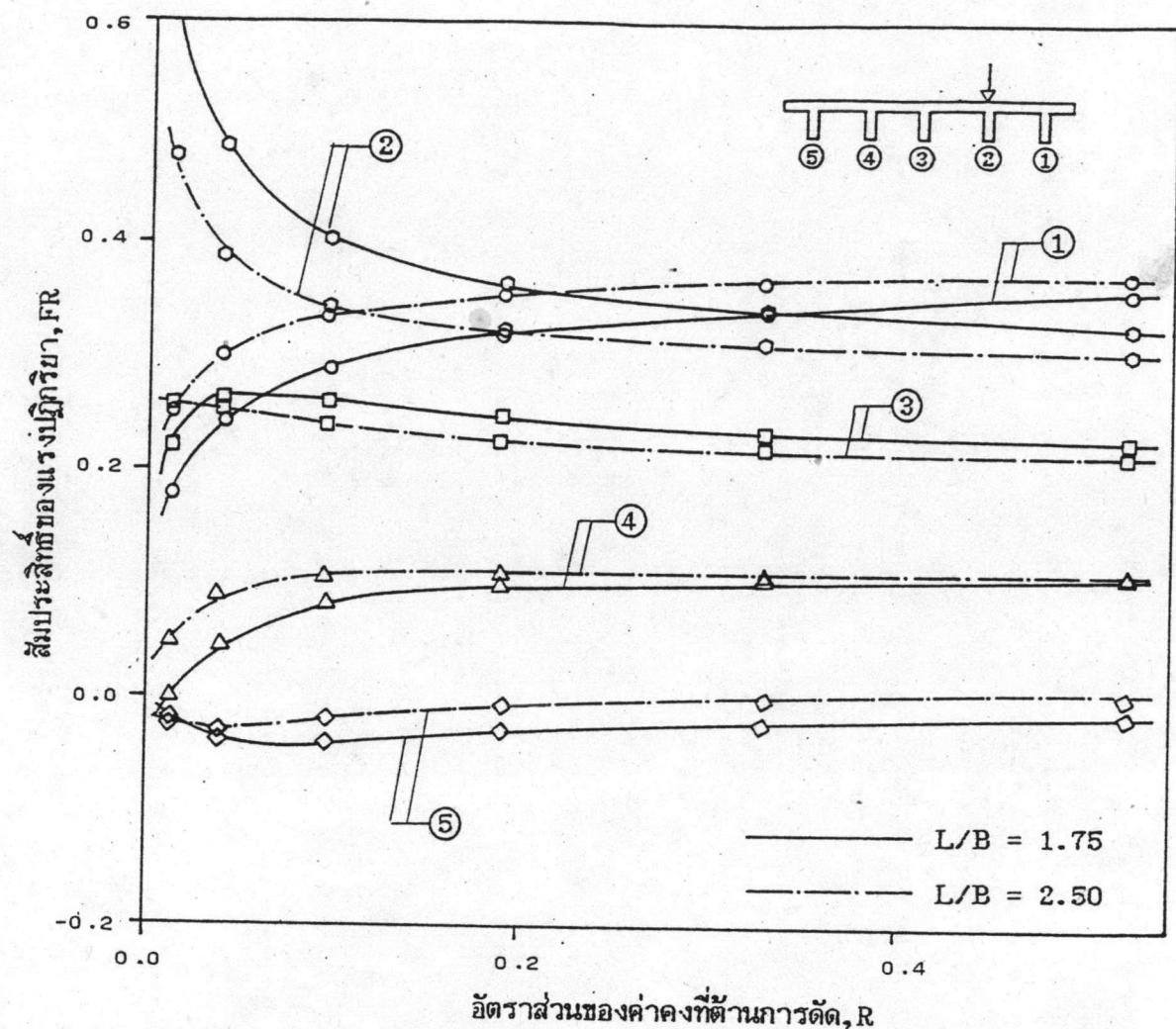
รูปที่ II.1 สัมประสิทธิ์ของแรงปฏิริยาตามอัตราส่วนของค่าคงที่ผ้า nauar ดัด (จำนวนความช่วง = 1)



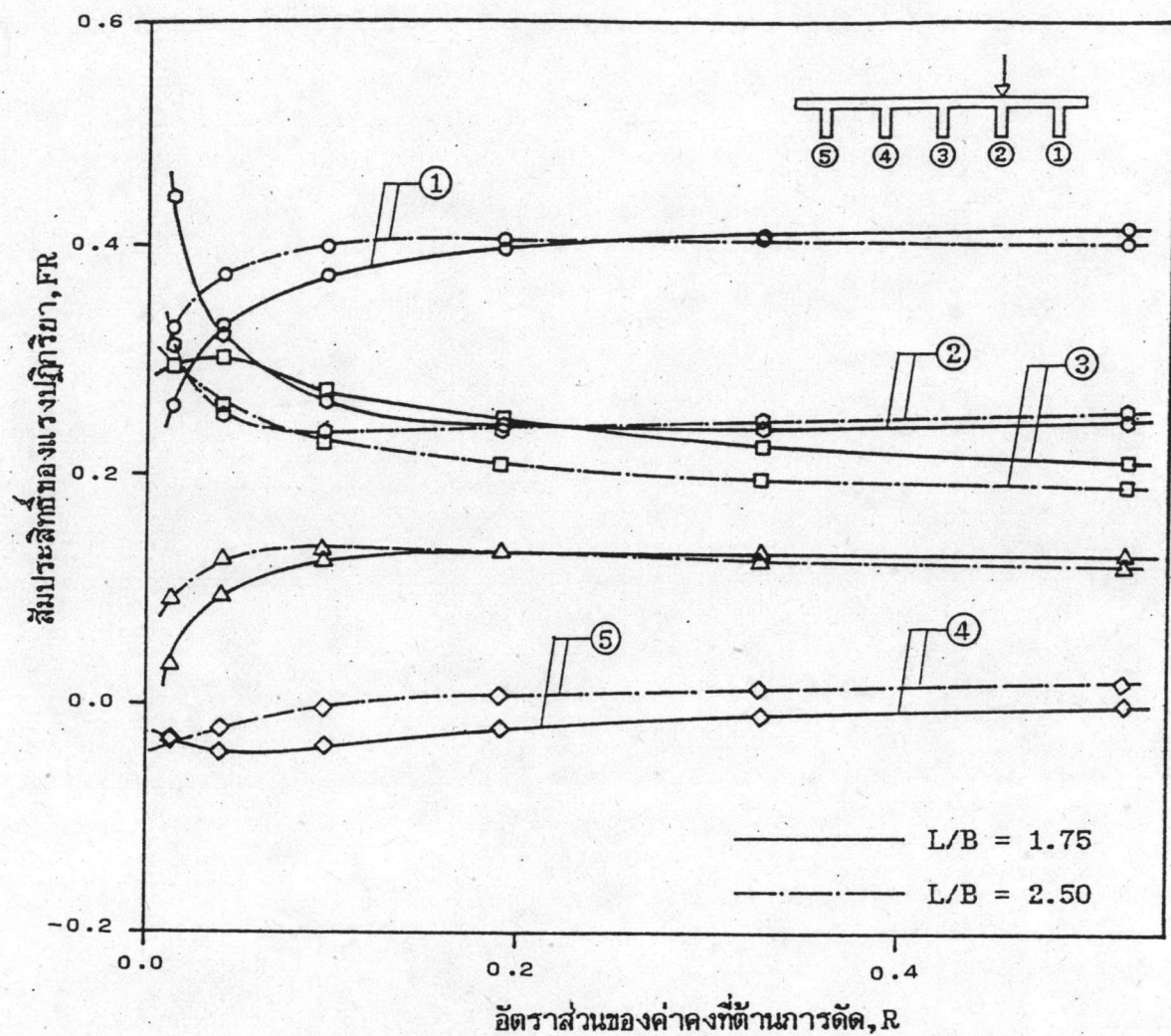
รูปที่ ๒.๒ สัมประสิทธิ์ของแรงปฏิกิริยาตามอัตราส่วนของค่าคงที่ต้านการดัด  
(จำนวนคานห่วง = ๓)



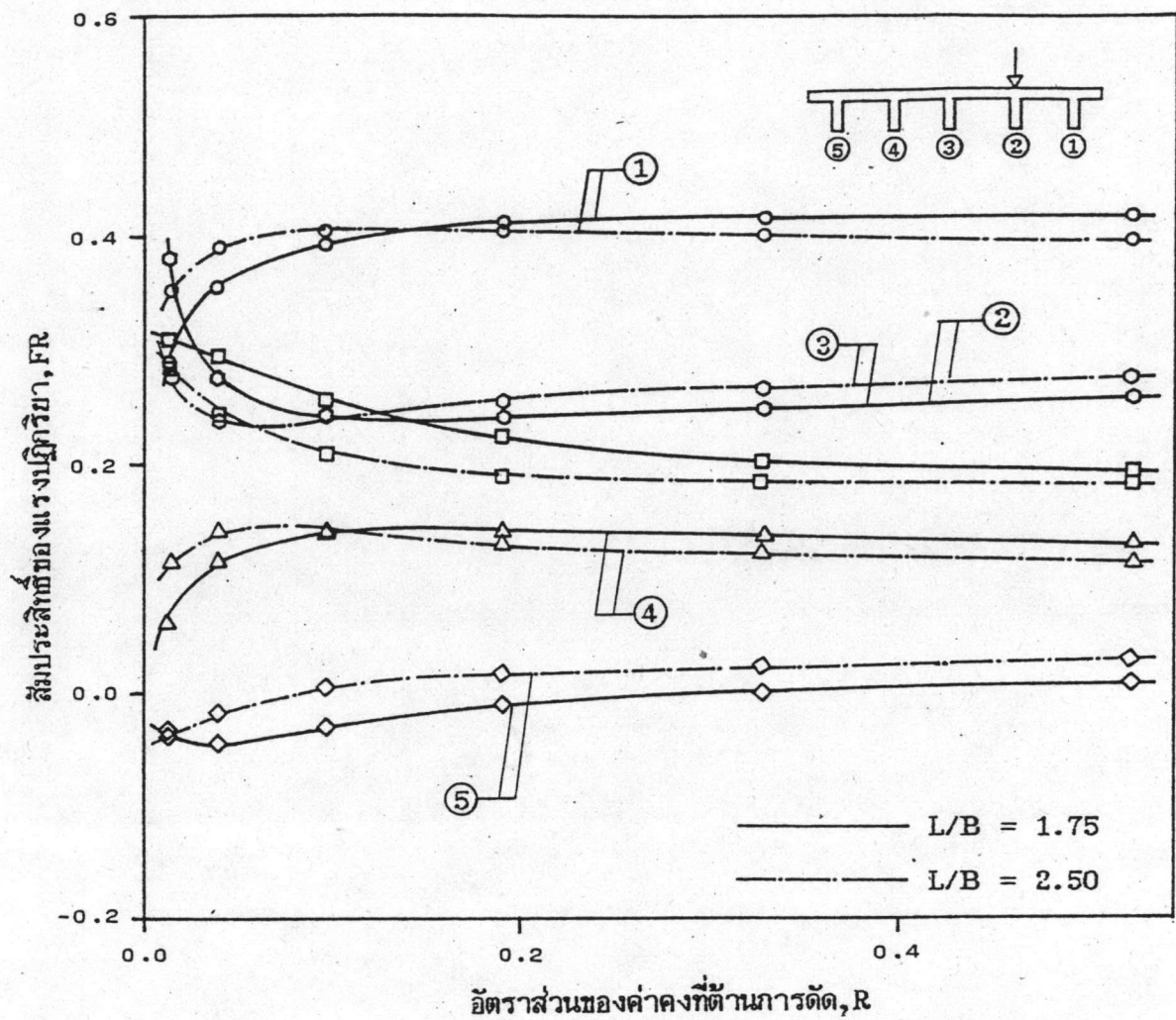
รูปที่ 1.3 สัมประสิทธิ์ของแรงปฏิกิริยาตามอัตราส่วนของค่าคงที่ต้านการดัด  
(จำนวนคานขวาง = 5)



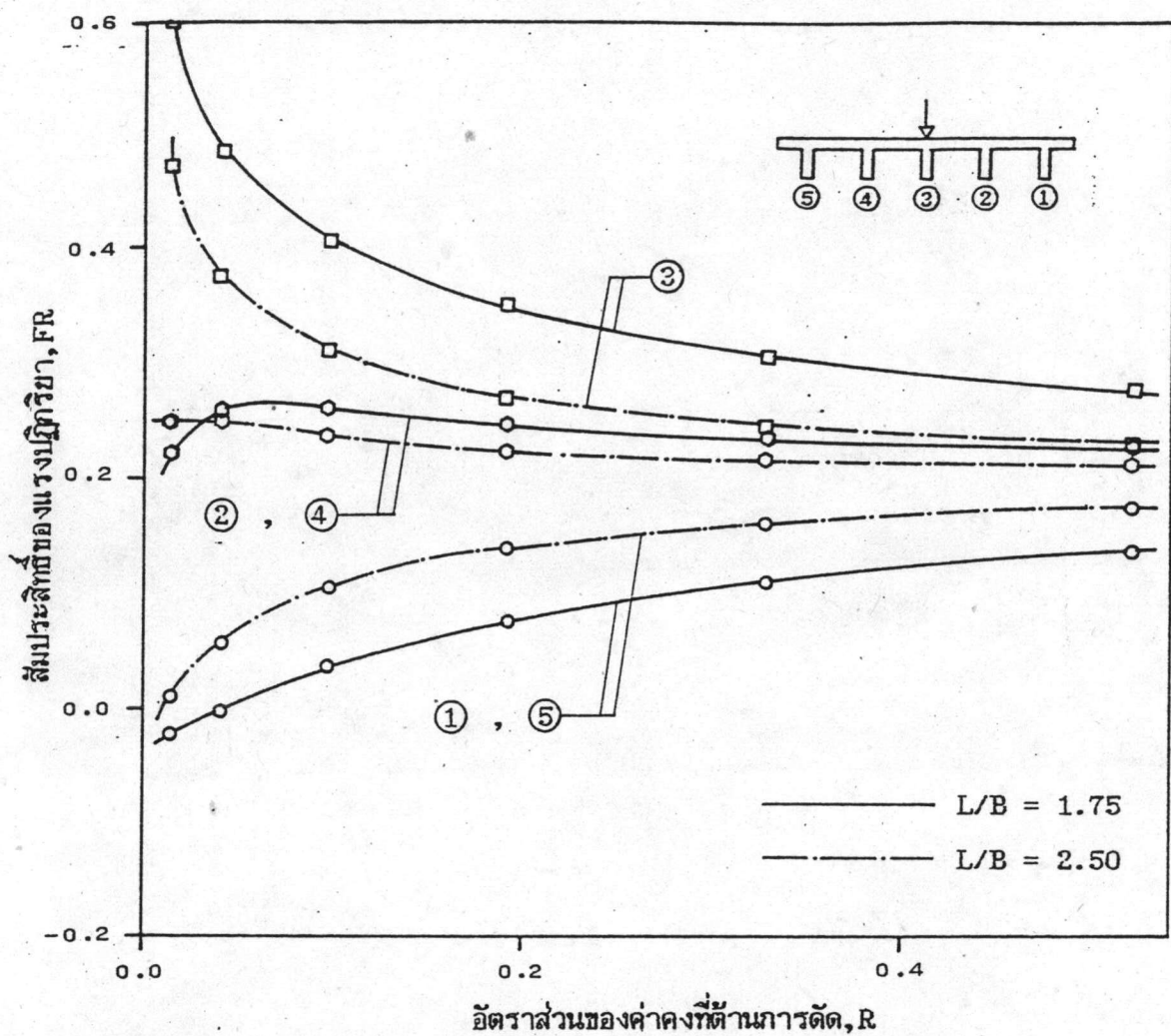
รูปที่ 2.4 สัมประสิทธิ์ของแรงปฏิกิริยาตามอัตราส่วนของค่าคงที่ต้านการดัด (จำนวนค่านิรavage = 1)



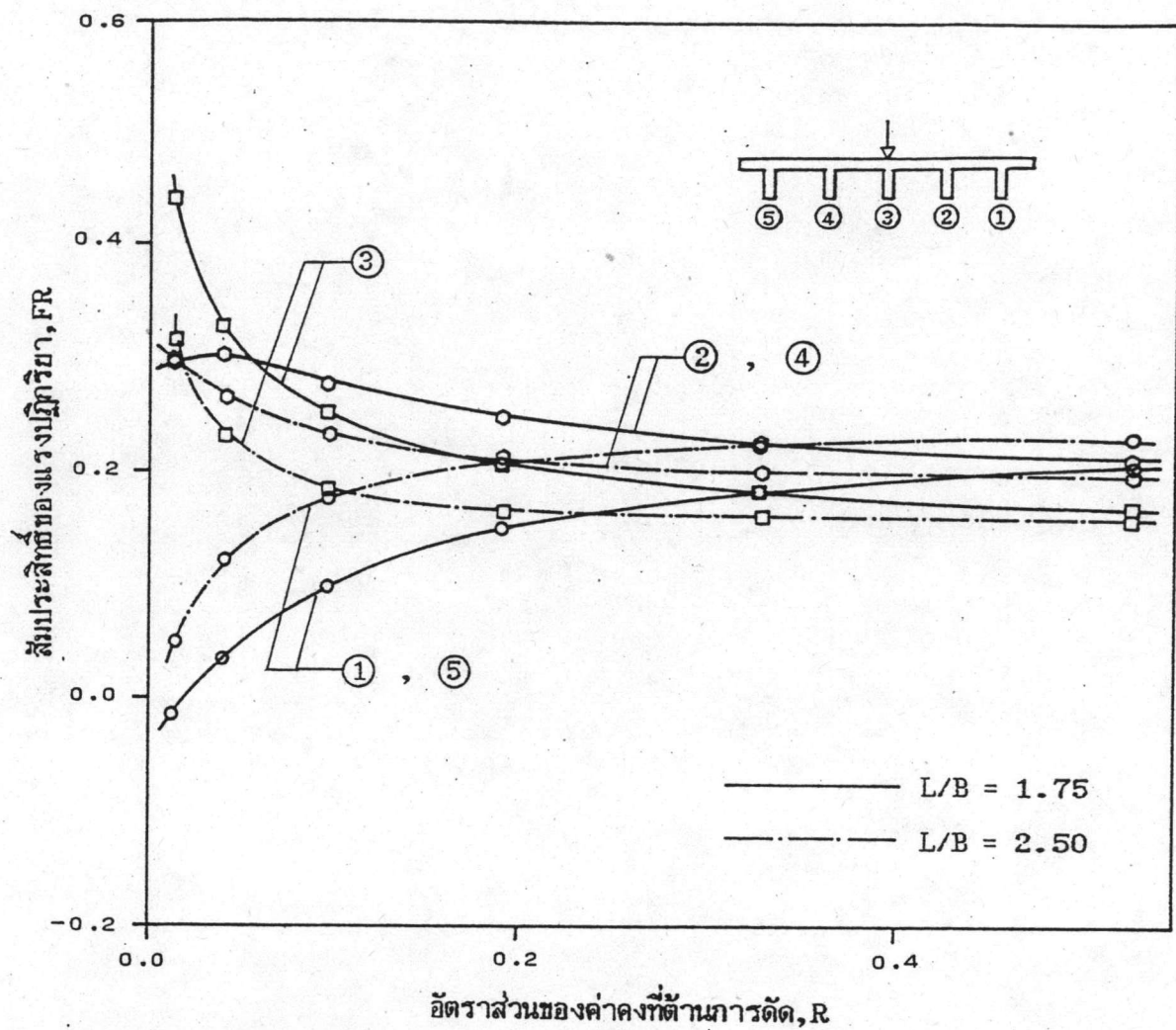
รูปที่ ๒.๕ สัมประสิทธิ์ของแรงปฏิกิริยาตามอัตราส่วนของค่าคงที่ต้านการดัด  
(จำนวนคานช่วง = ๓)



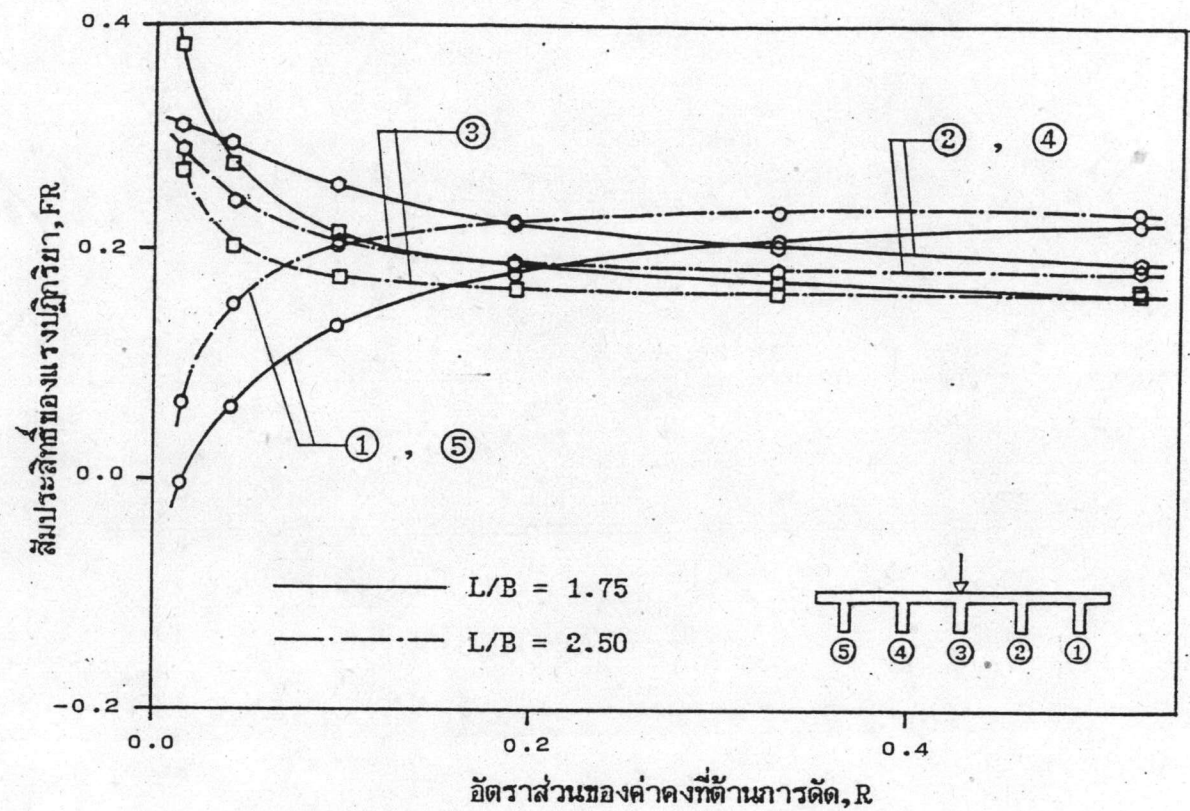
รูปที่ ॥.6 สัมประสิทธิ์ของแรงปฎิกริยาตามอัตราส่วนของค่าคงที่ต้านการดัด  
(จำนวนคานห่วง = 5)



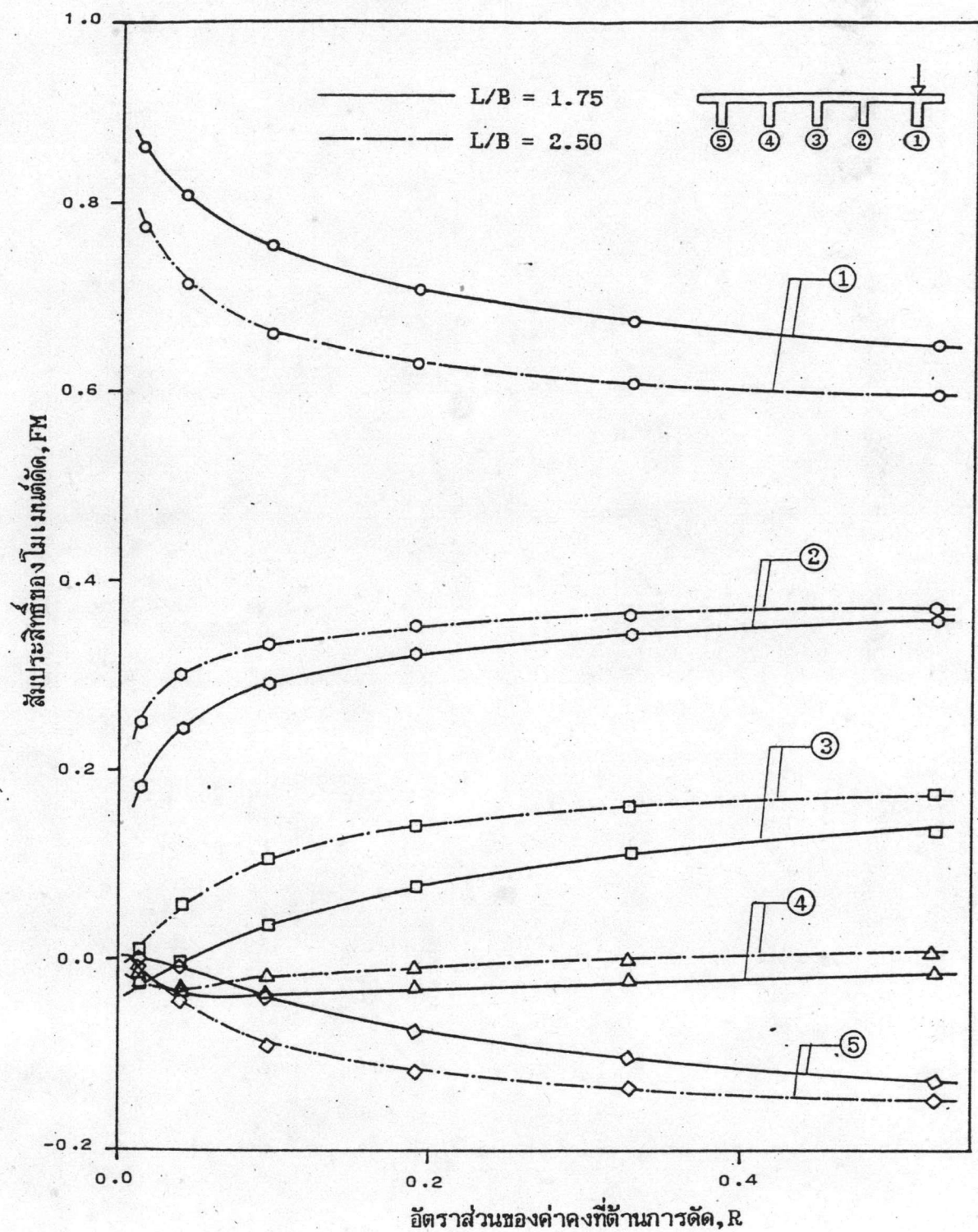
รูปที่ ॥.7 สัมประสิทธิ์ของแรงปฎิกริยาตามอัตราส่วนของค่าคงที่ด้านการดัด  
(จำนวนด้านขวา = 1)



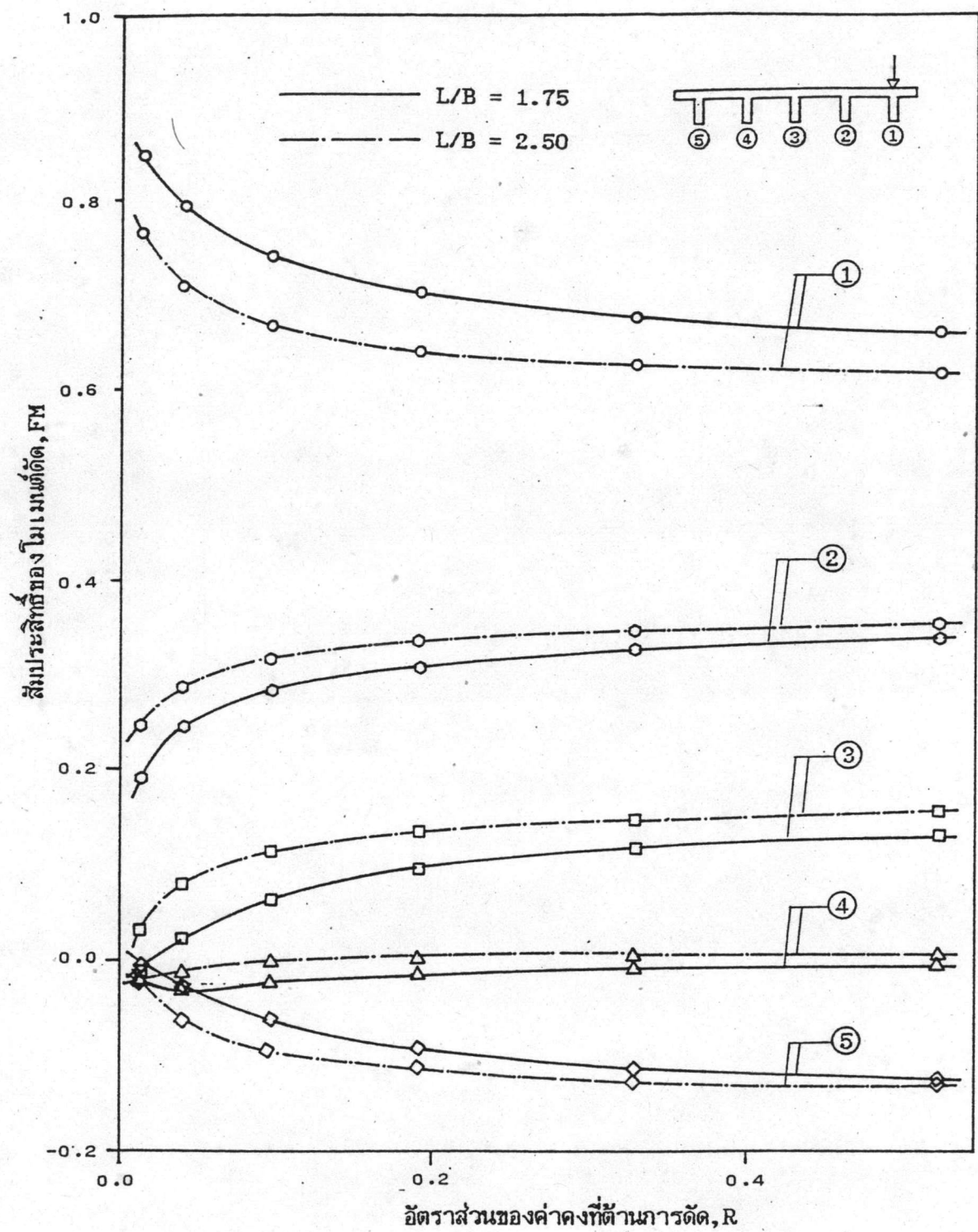
รูปที่ ॥.8 สัมประสิทธิ์ของแบนก์เกอรีชาตามอัตราส่วนของค่าคงที่ต้านการดัด  
(จำนวนความช่วง = 3)



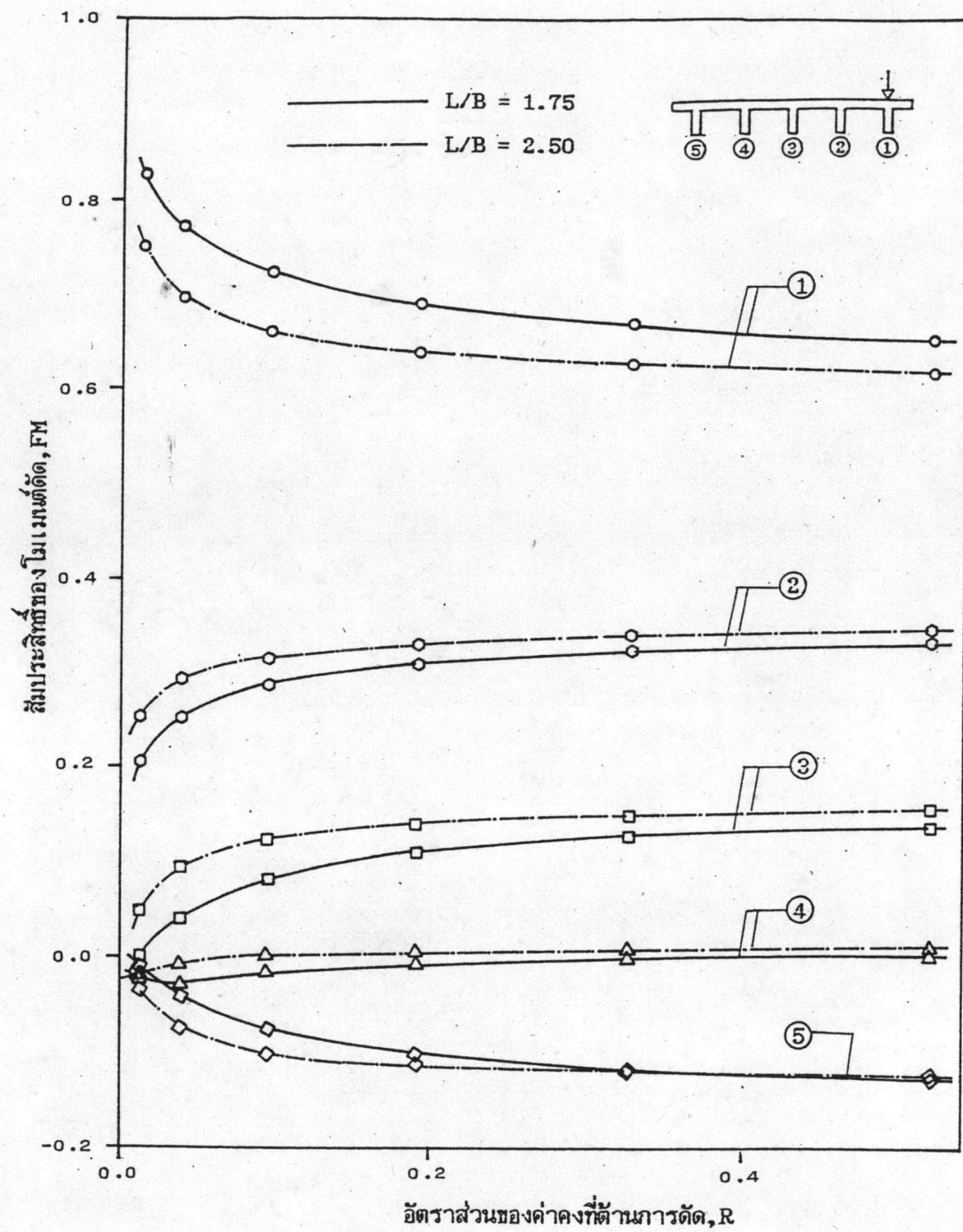
รูปที่ 2.9 สัมประสิทธิ์ของแรงปฎิกริยาตามอัตราส่วนของค่าคงที่ต้านการดัด (จำนวนคานขวาง = 5)



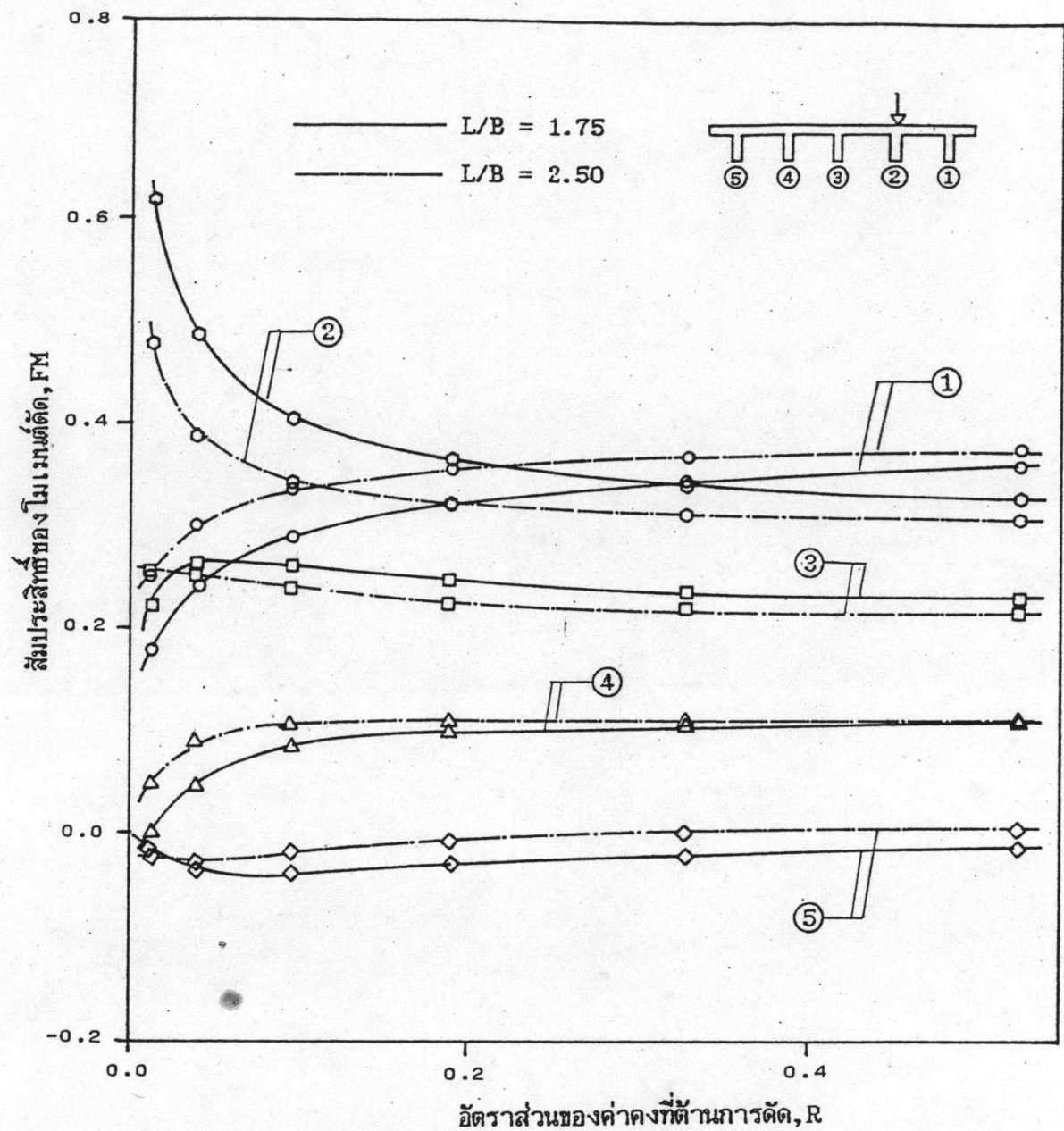
รูปที่ ช.10 สัมประสิทธิ์ของโมเมนต์ดัดตามอัตราส่วนของค่าคงที่ต้านการดัด  
(จำนวนค่าน้ำหนัก = 1)



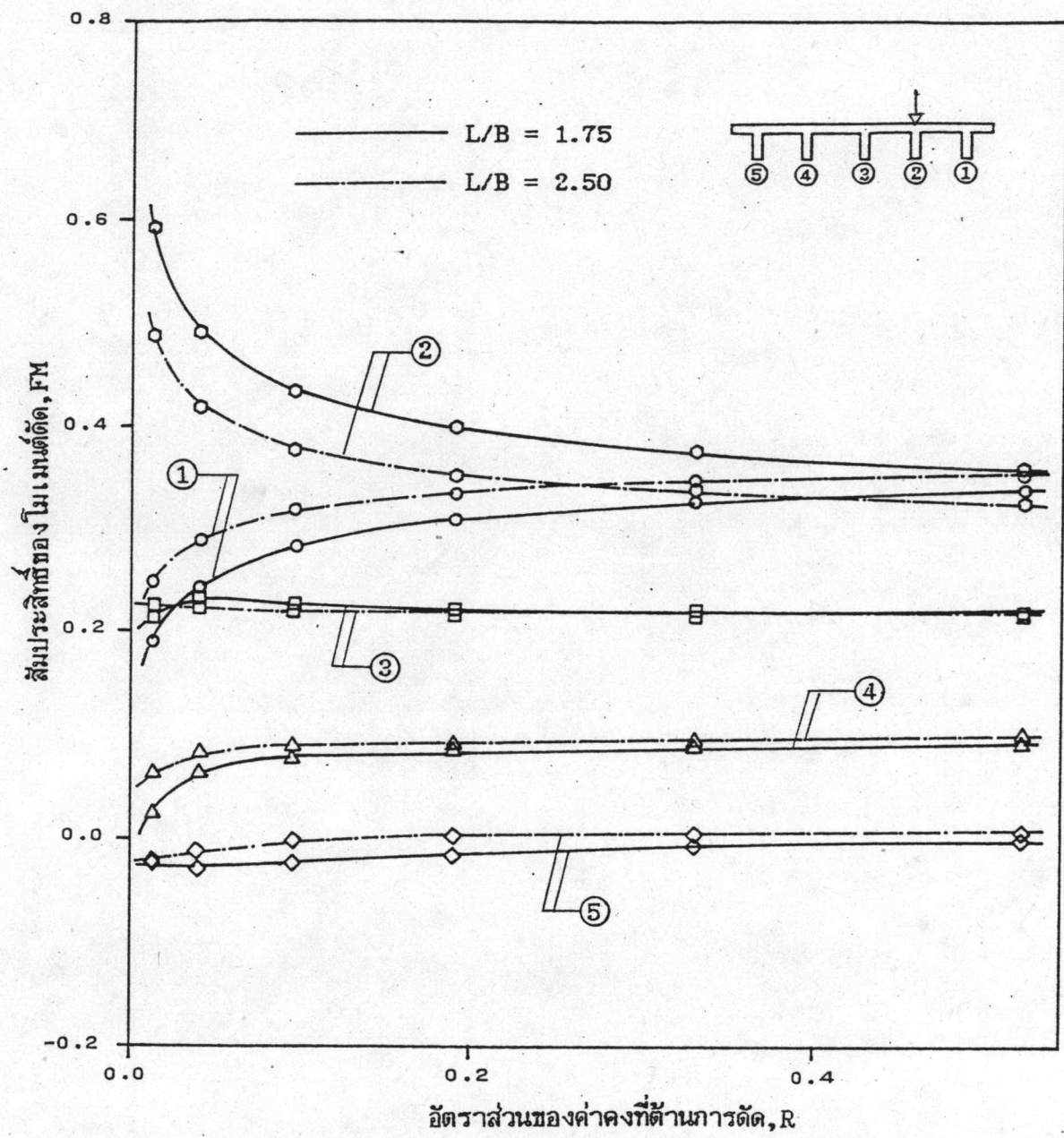
รูปที่ ॥.11 สัมประสิทธิ์ของโมเมนต์ดัดตามอัตราส่วนของค่าคงที่ต้านการดัด  
(จำนวนค่าน้ำหนัก = 3)



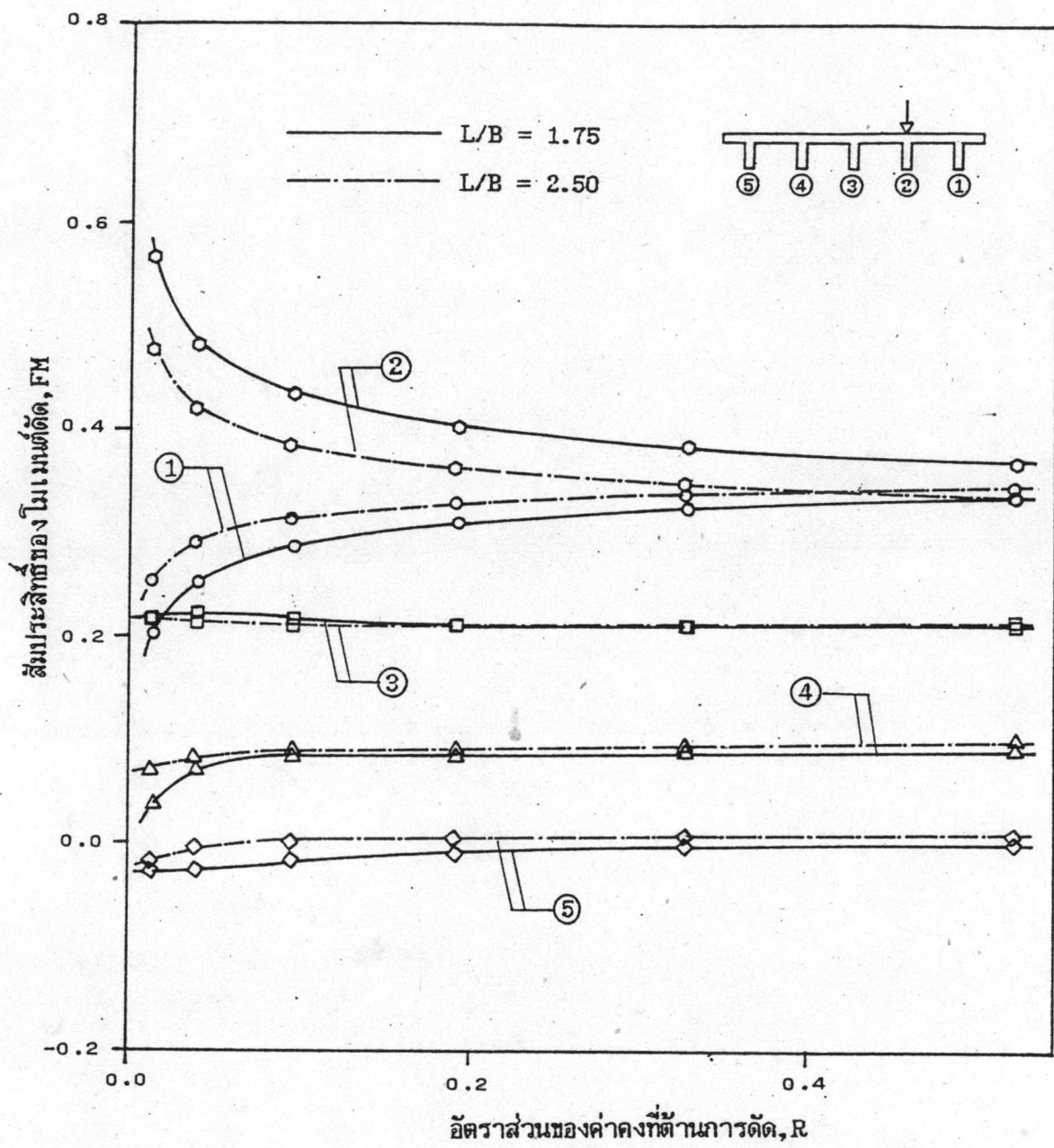
รูปที่ ภ. 12 สัมประสิทธิ์ของ โมเมนต์ตามอัตราส่วนของค่าคงที่ต้านการดัด (จำนวนด้านขวา = 5)



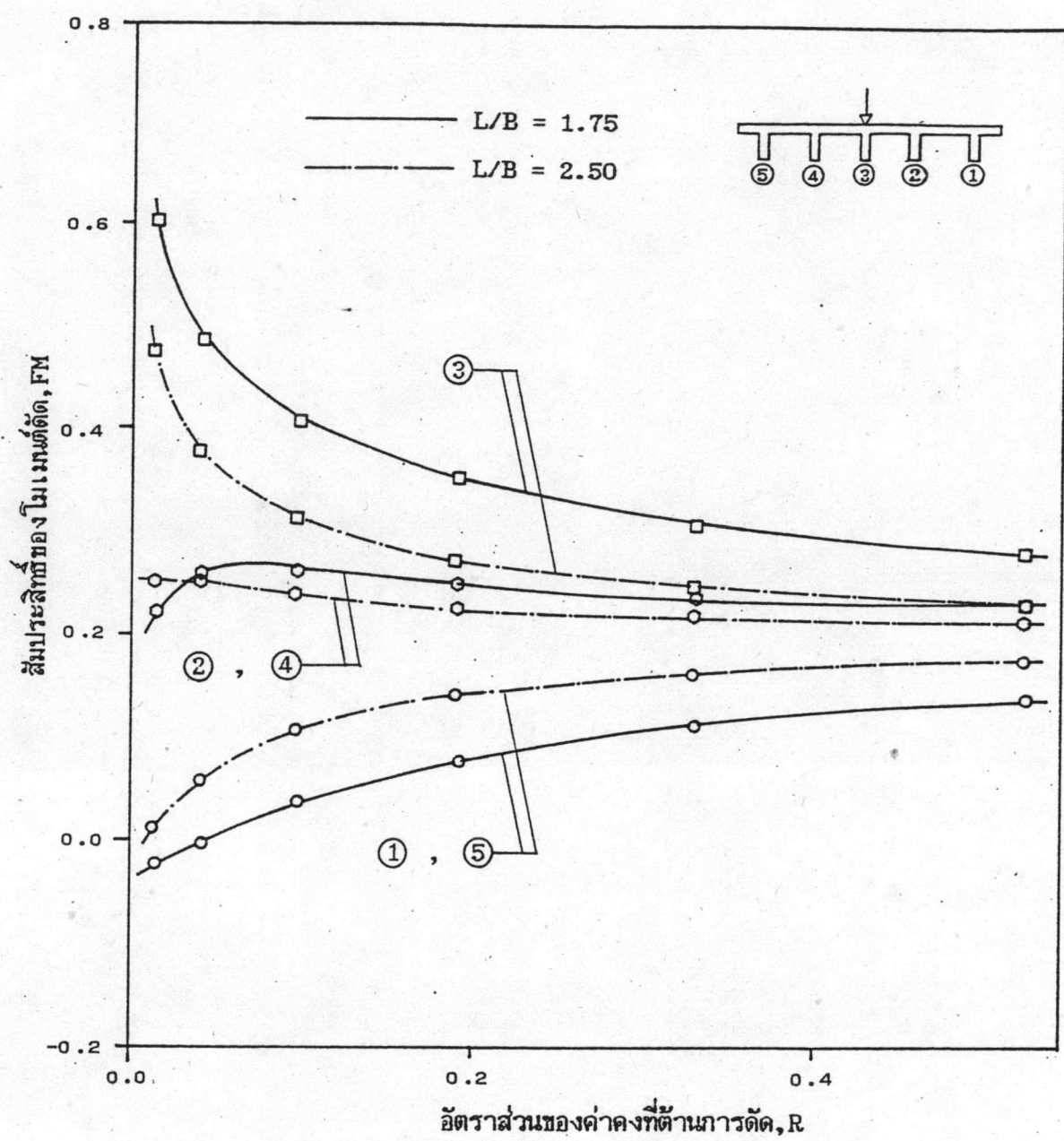
รูปที่ ॥.13 สัมประสิทธิ์ของโมเมนต์ดัดตามอัตราส่วนของค่าคงที่ต้านการดัด  
(จำนวนค่านิยาม = 1)



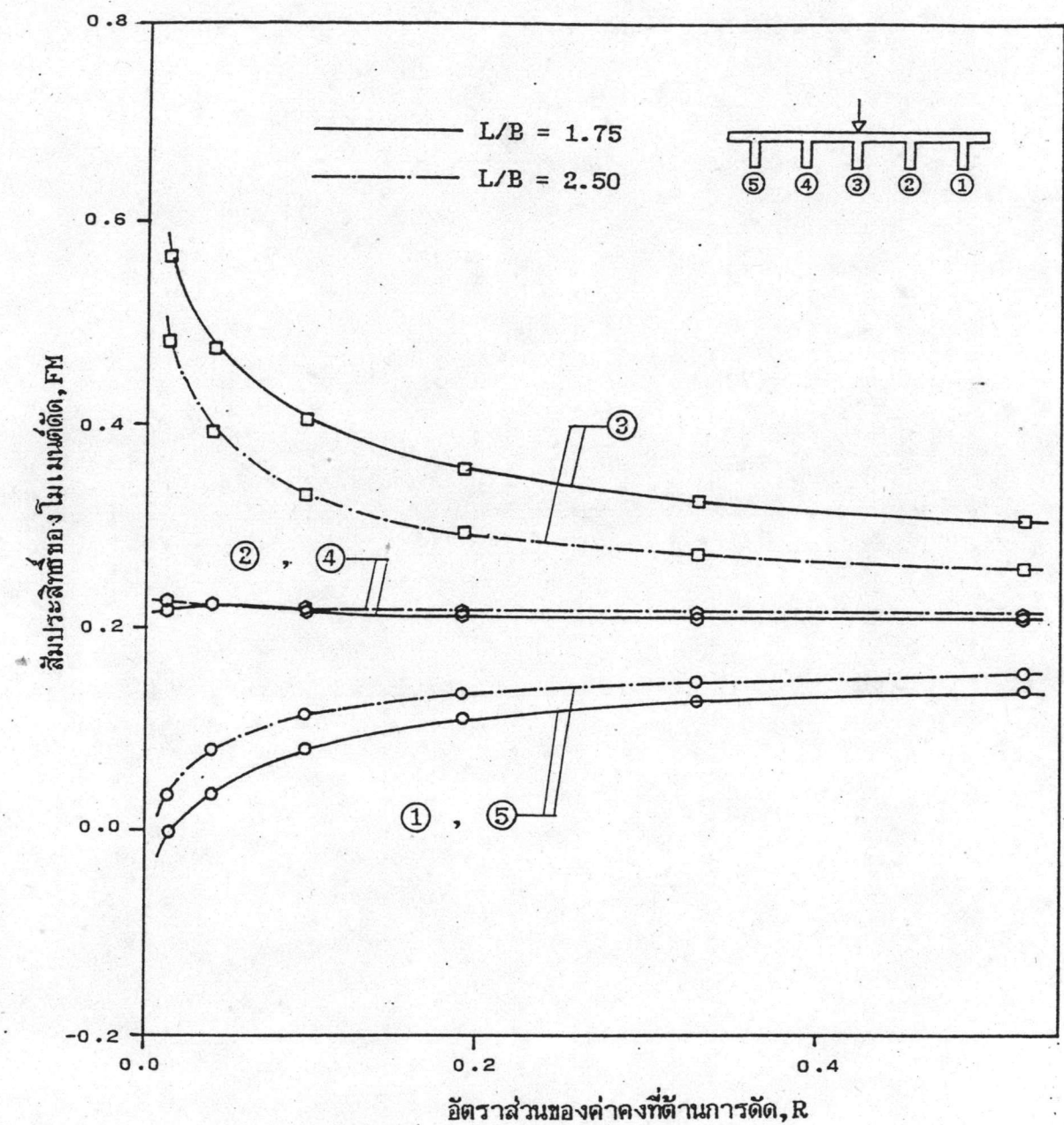
รูปที่ ॥.14 สัมประสิทธิ์ของโนเมเนตต์ตามอัตราส่วนของค่าคงที่ต้านการดัด  
(จำนวนค่าน้ำหนัก = 3)



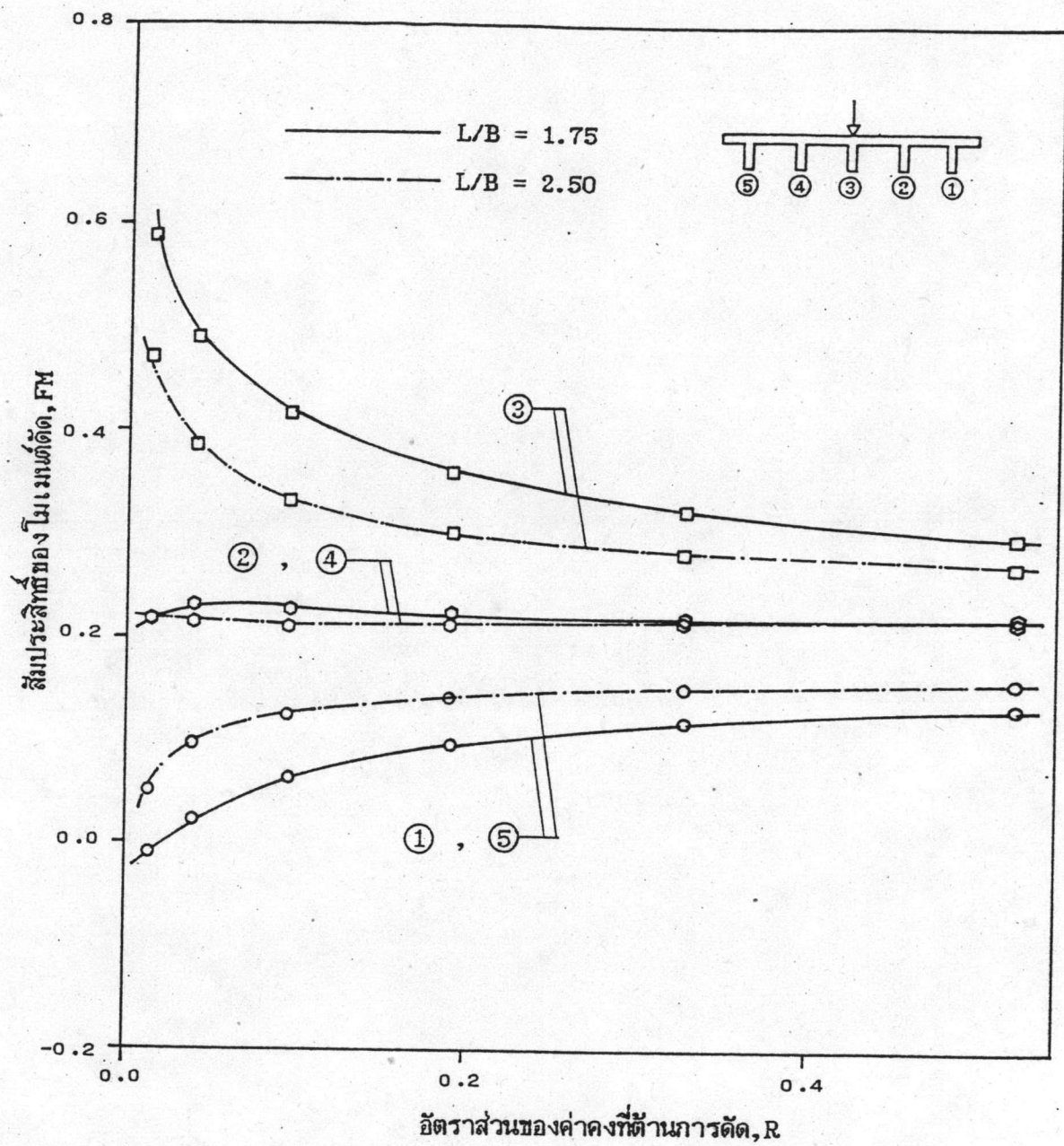
รูปที่ II.15 สัมประสิทธิ์ของโนเมนต์ดัดตามอัตราส่วนของค่าคงที่ต้านการดัด  
(จำนวนคานช่วง = 5)



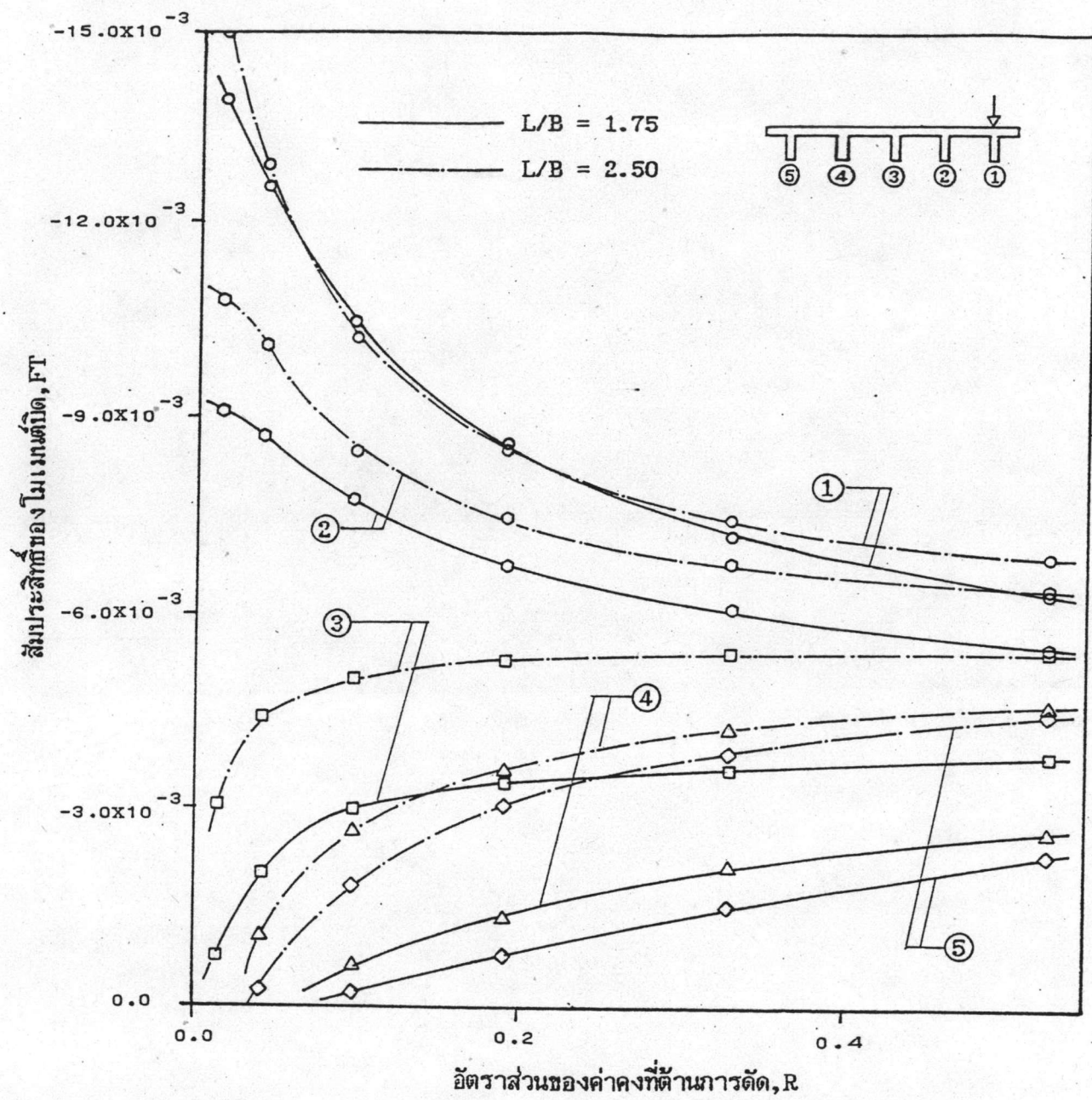
รูปที่ 2.16 สัมประสิทธิ์ของโมเมนต์ดัดตามอัตราส่วนของค่าคงที่ต้านการดัด (จำนวนค่าน้ำหนัก = 1)



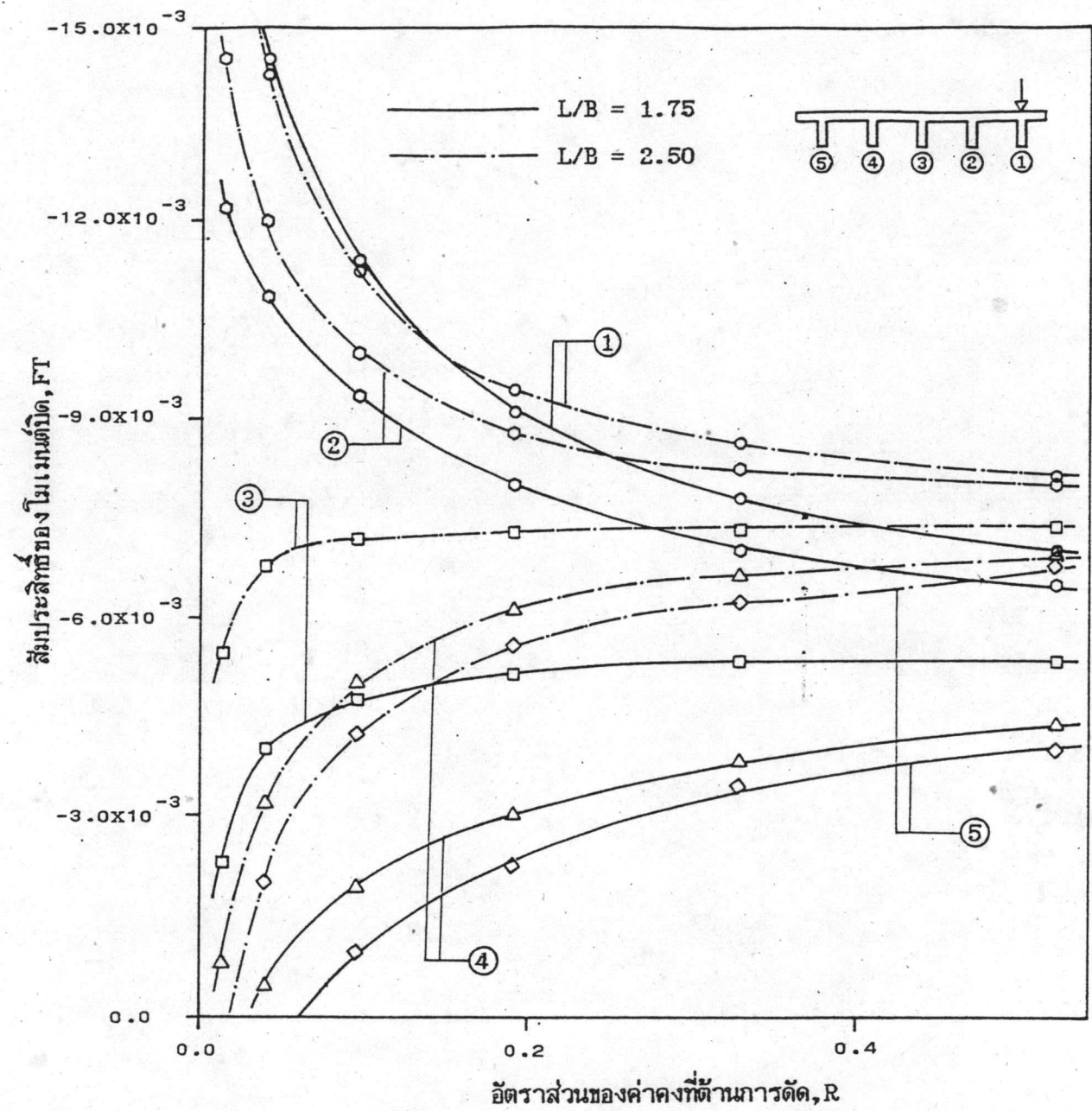
รูปที่ ॥.17 สัมประสิทธิ์ของโมเมนต์ดัดตามอัตราส่วนของค่าคงที่ต้านการตัด  
(จำนวนค่าฐานะ = 3)



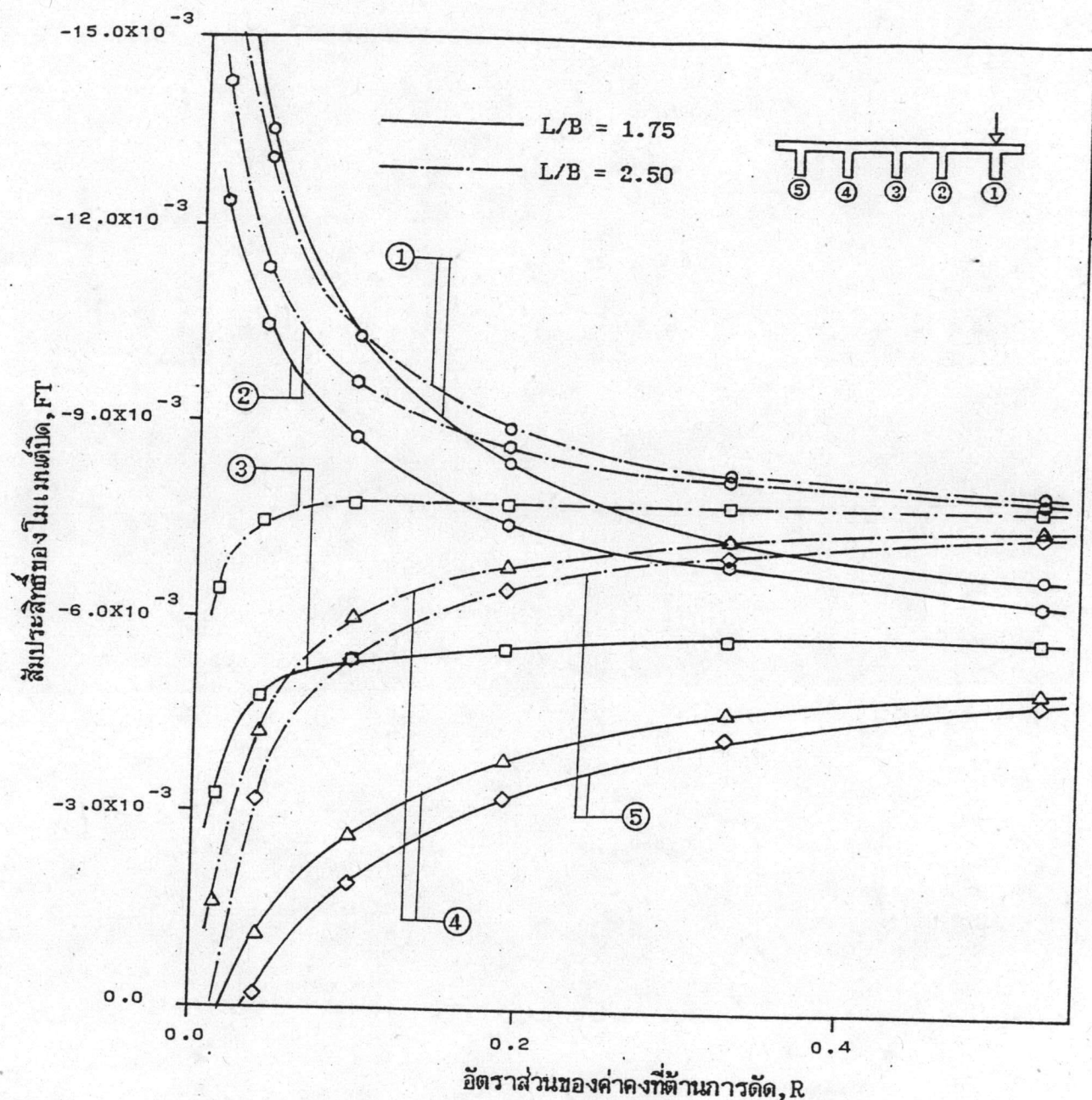
รูปที่ 2.18 สัมประสิทธิ์ของโมเมนต์ดัดตามอัตราส่วนของค่าคงที่ต้านการดัด (จำนวนค่าน้ำหนัก = 5)



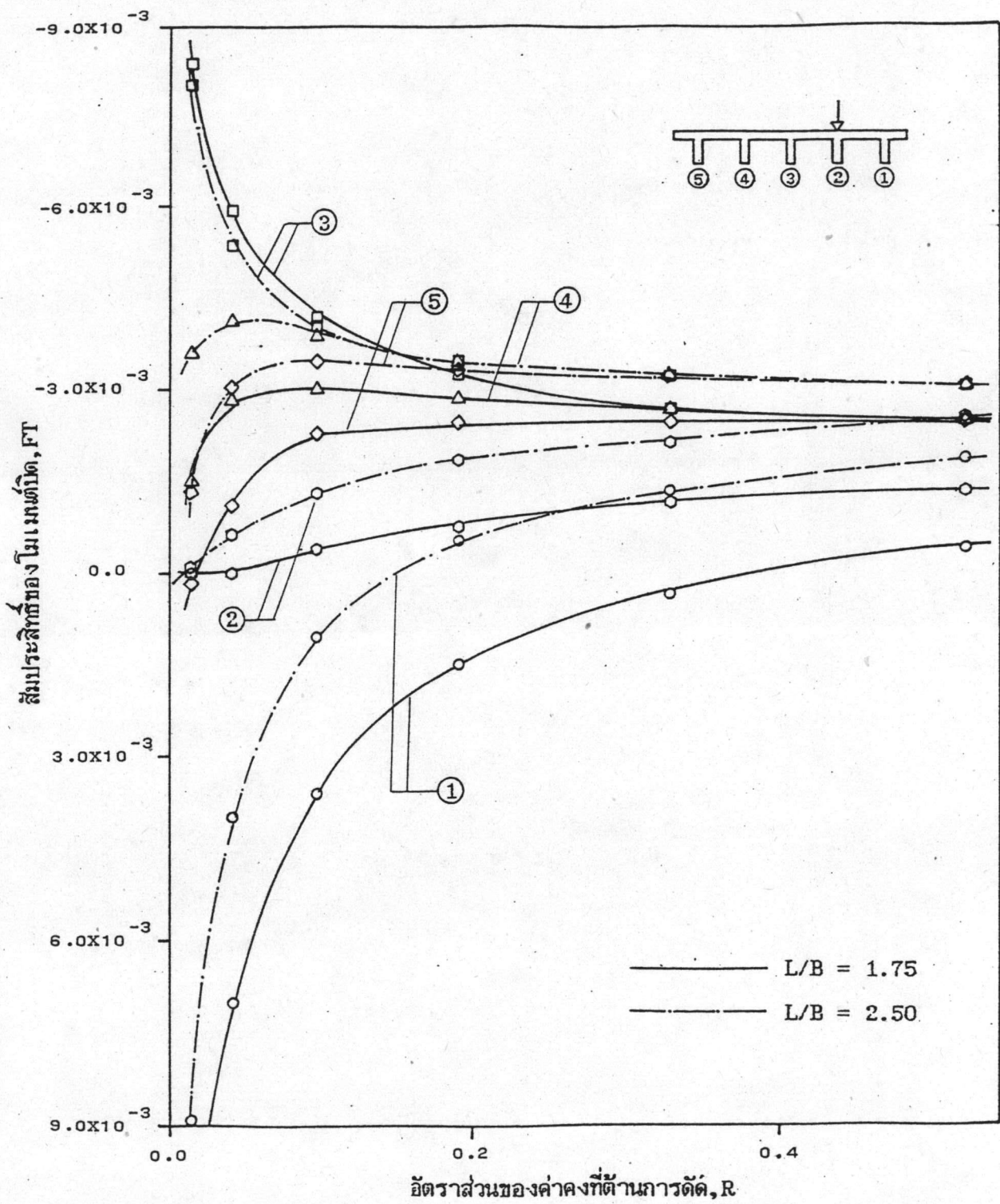
รูปที่ ๒.๑๙ สัมประสิทธิ์ของโน้มแนวด้วย FT ตามอัตราส่วนของค่าคงที่ต้านการดัด  
(จำนวนคานห่วง = ๑)



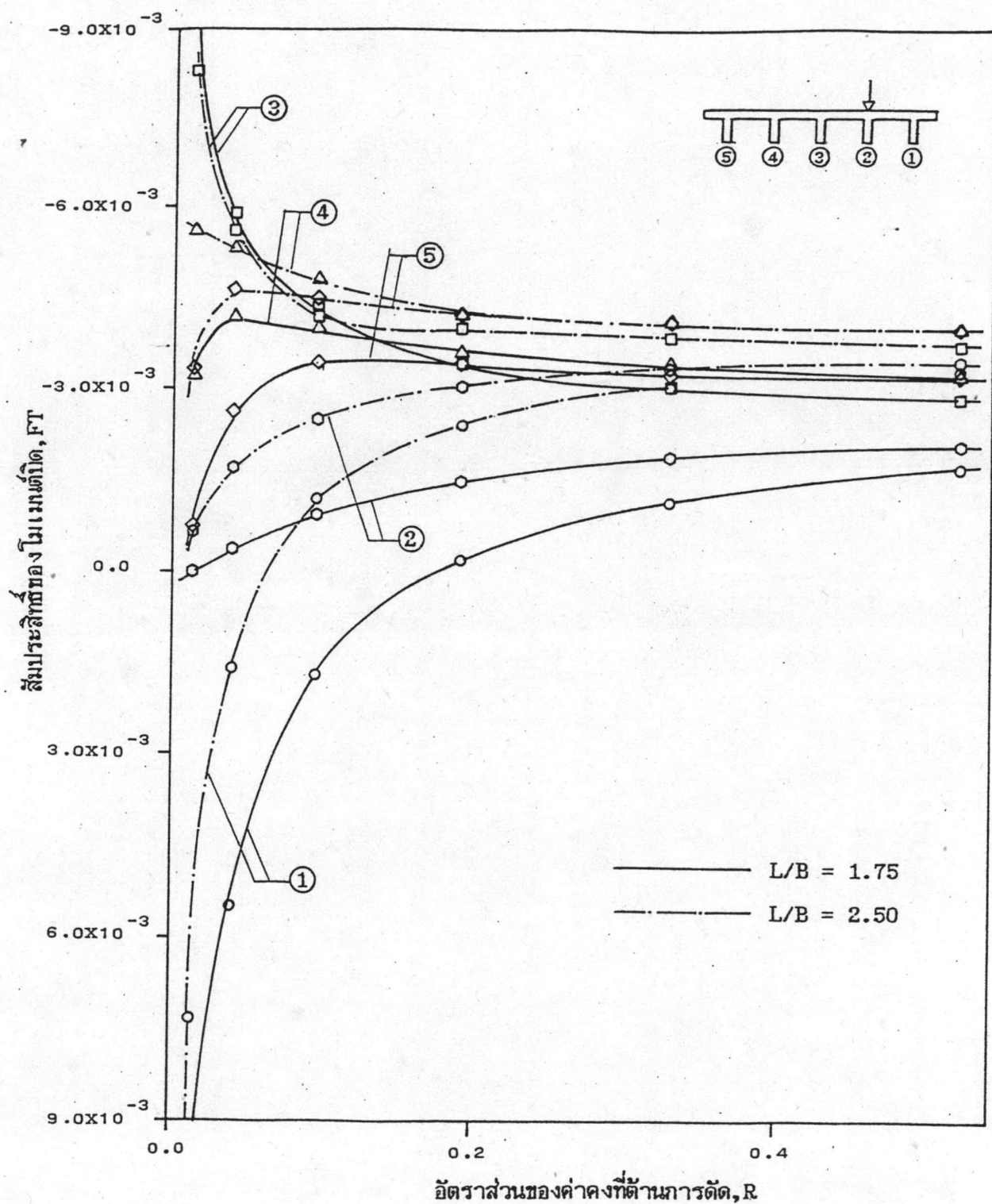
รูปที่ ॥.20 สัมประสิทธิ์ของโน้มเน้นติดตามอัตราส่วนของค่าคงที่ต้านการดัด  
(จำนวนค่าน้ำหนัก = 3)



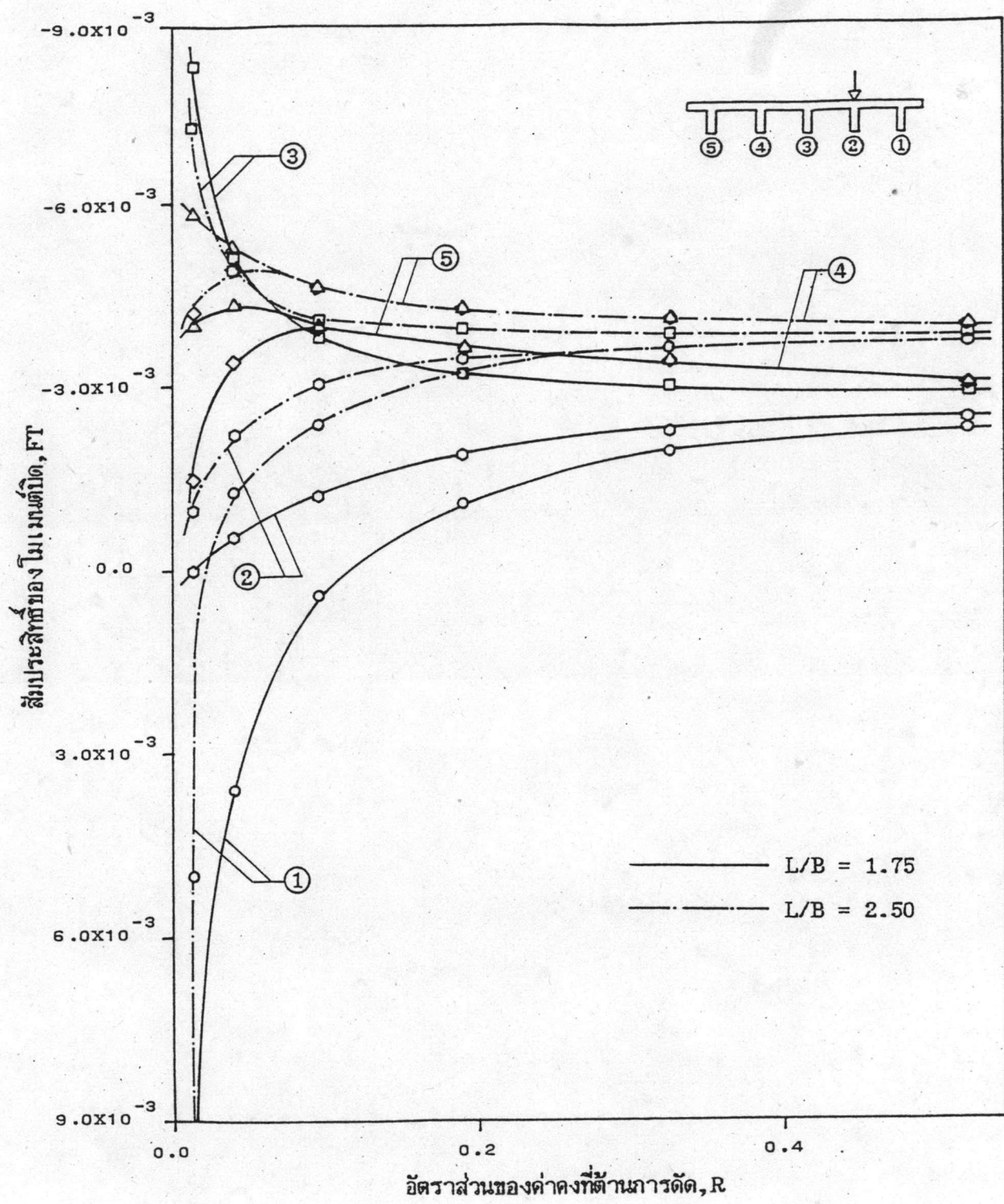
รูปที่ 2.21 สัมประสิทธิ์ของโมเดลตามอัตราส่วนของค่าคงที่ต้านการดัด  
(จำนวนคานช่วง = 5)



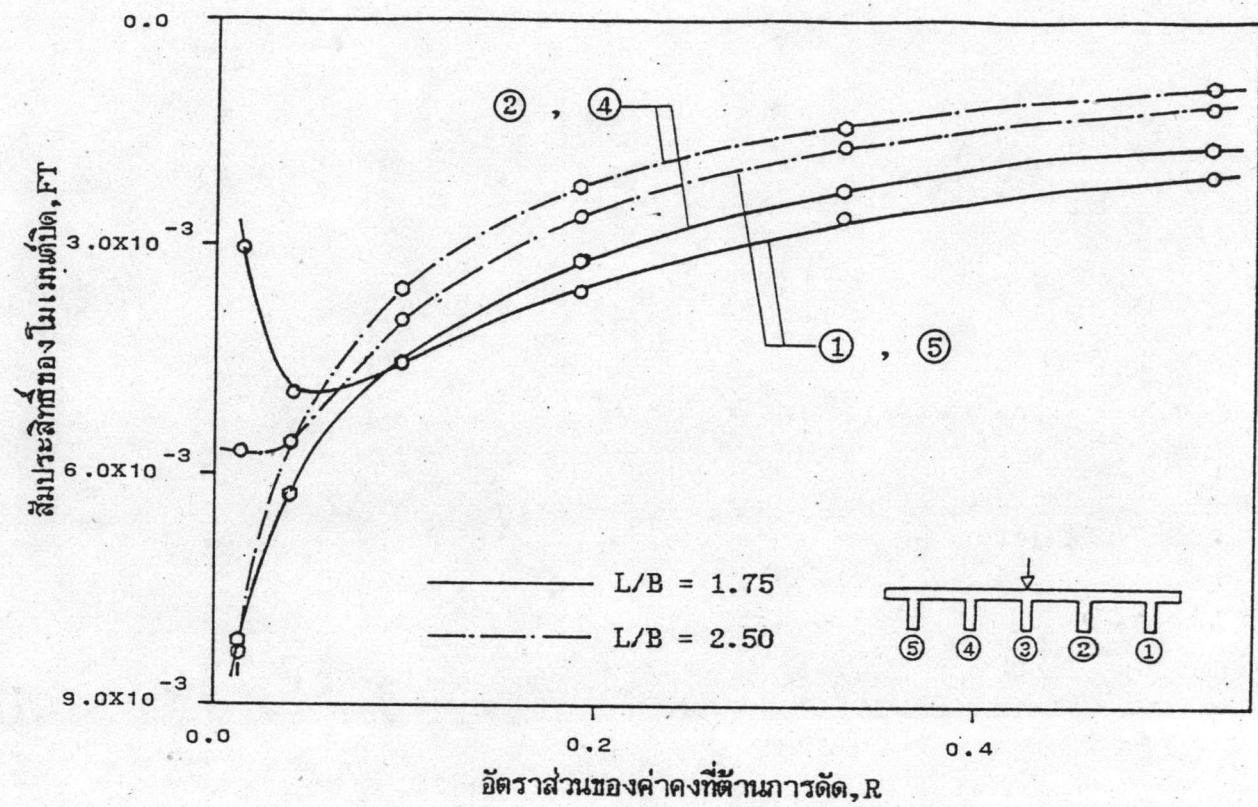
รูปที่ ॥.22 สัมประสิทธิ์ของโมเมนต์บิดตามอัตราส่วนของค่าคงที่ต้านการดัด  
(จำนวนค่านานาจ = 1)



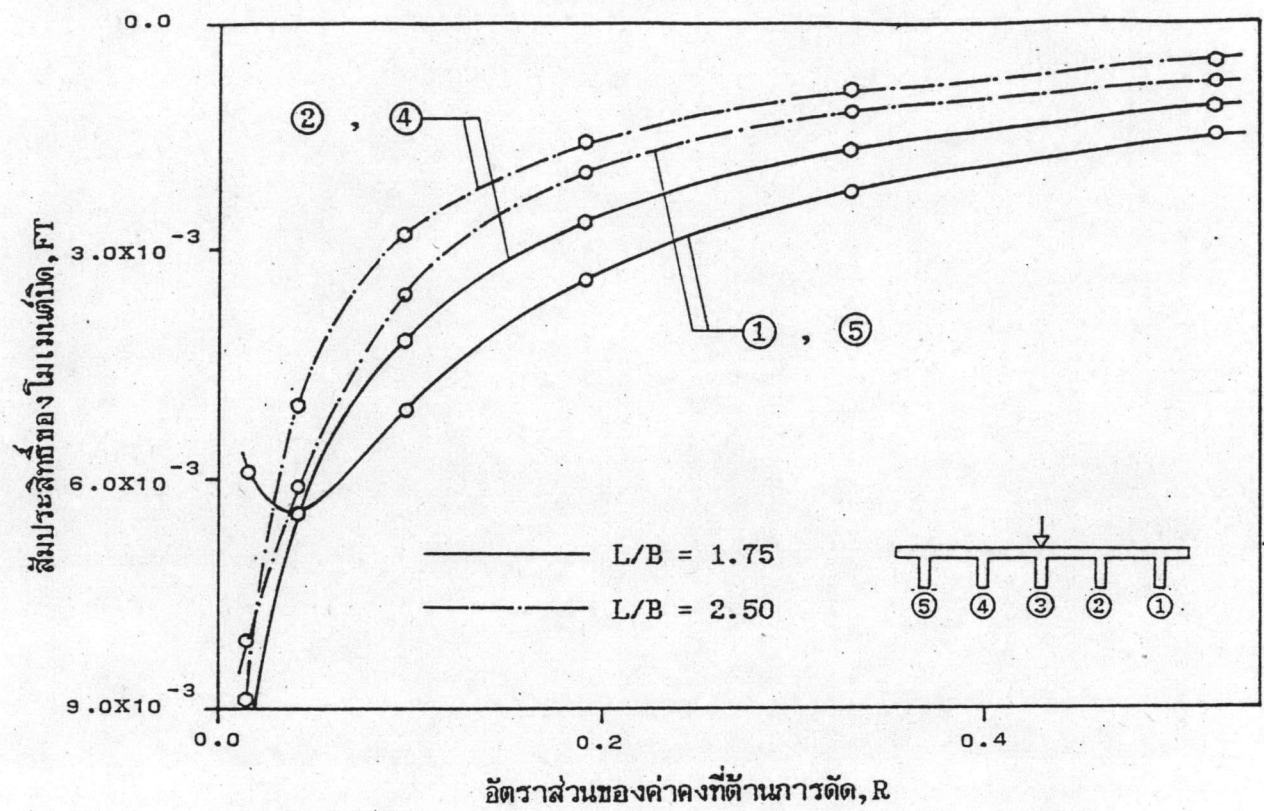
รูปที่ ॥.23 สัมประสิทธิ์ของโน้มเหล็กตามอัตราส่วนของค่าคงที่ต้านการตัด  
(จำนวนค่านิยาม = 3)



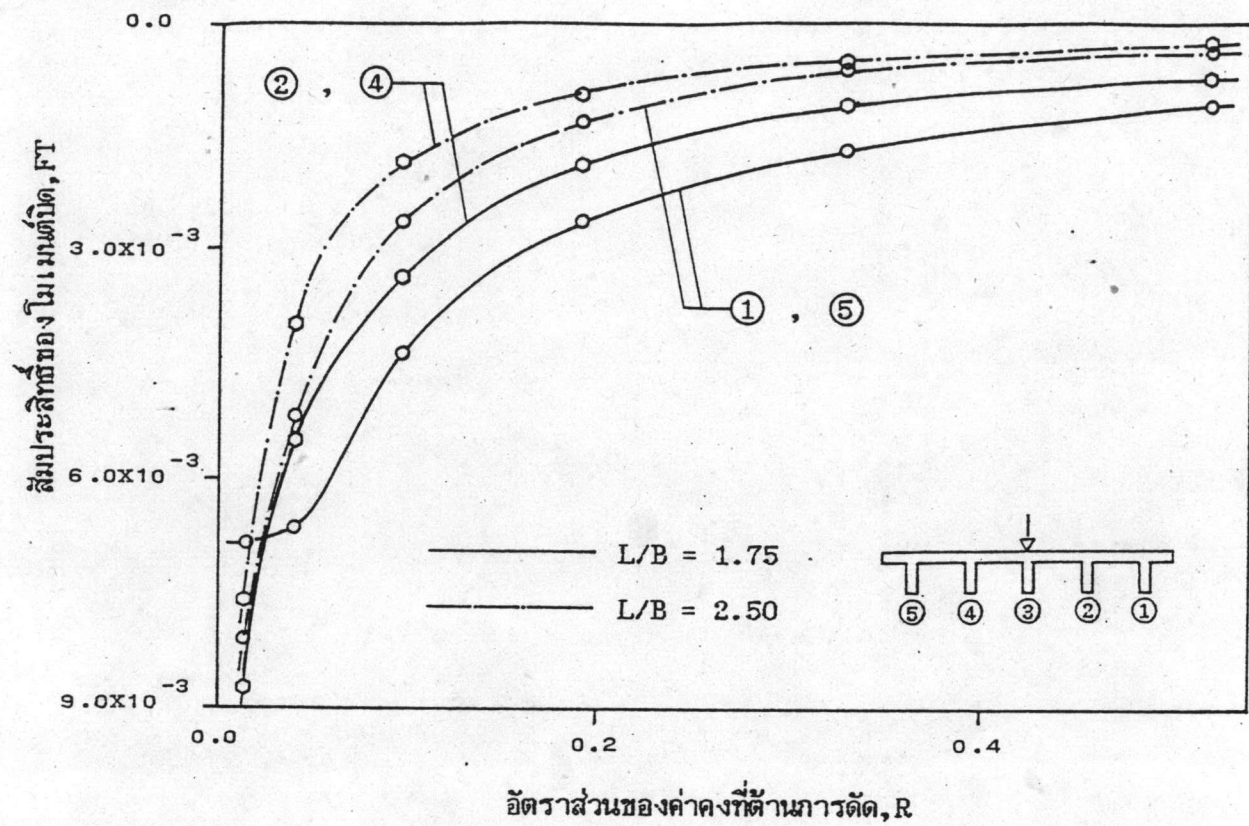
รูปที่ ॥.24 ลักษณะสิ่งที่ไม่แน่นอนตามอัตราส่วนของค่าคงที่ต้านการดัด  
(จำนวนคานห่วง = 5)



รูปที่ ॥.25 สัมประสิทธิ์ของโมเมนต์บิดตามอัตราส่วนของค่าคงที่ต้านการดัด  
(จำนวนค่าน้ำหนัก = 1)

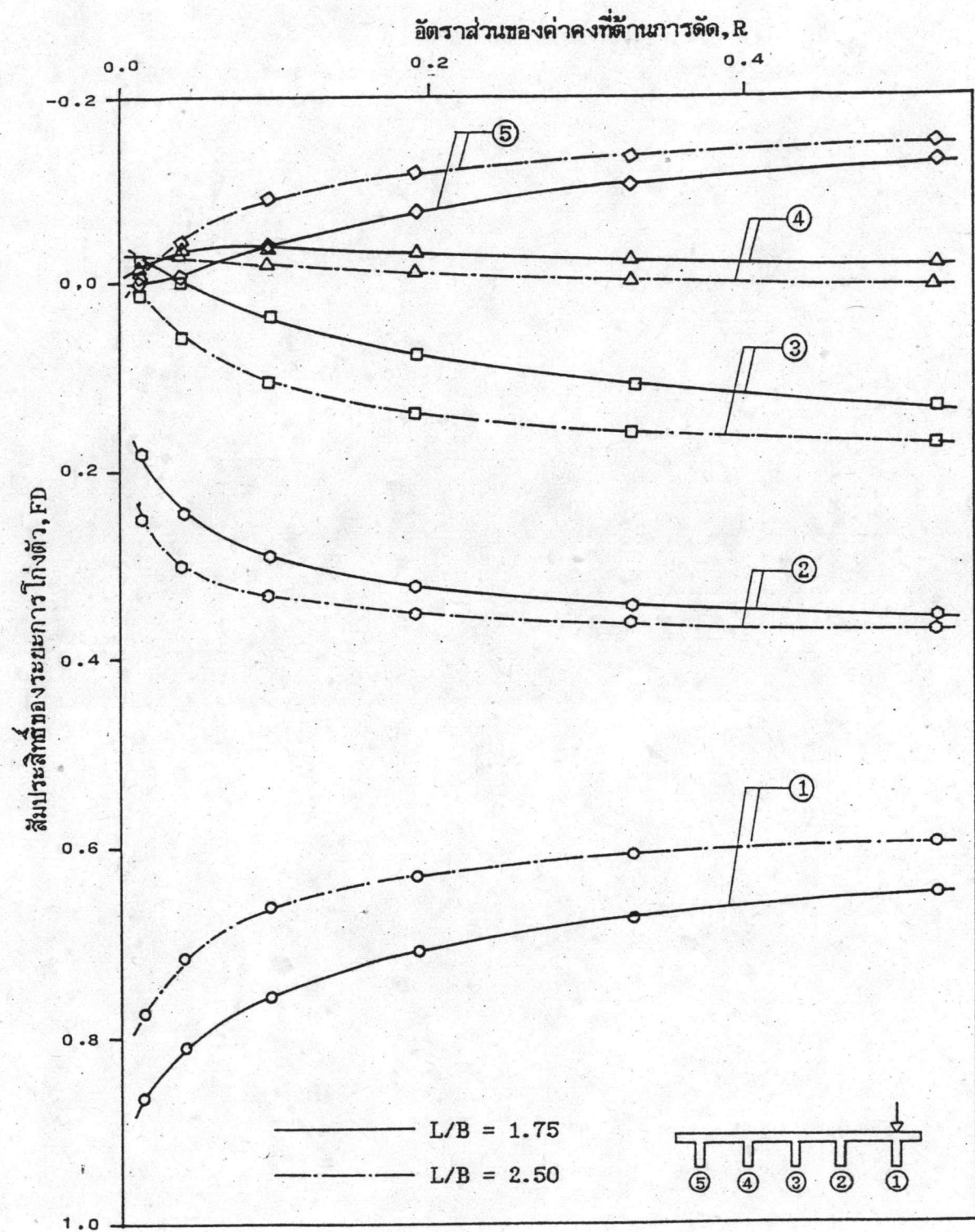


รูปที่ ॥.26 สัมประสิทธิ์ของโมเมนต์บิดตามอัตราส่วนของค่าคงที่ต้านการดัด (จำนวนค่าขวาง = 3)

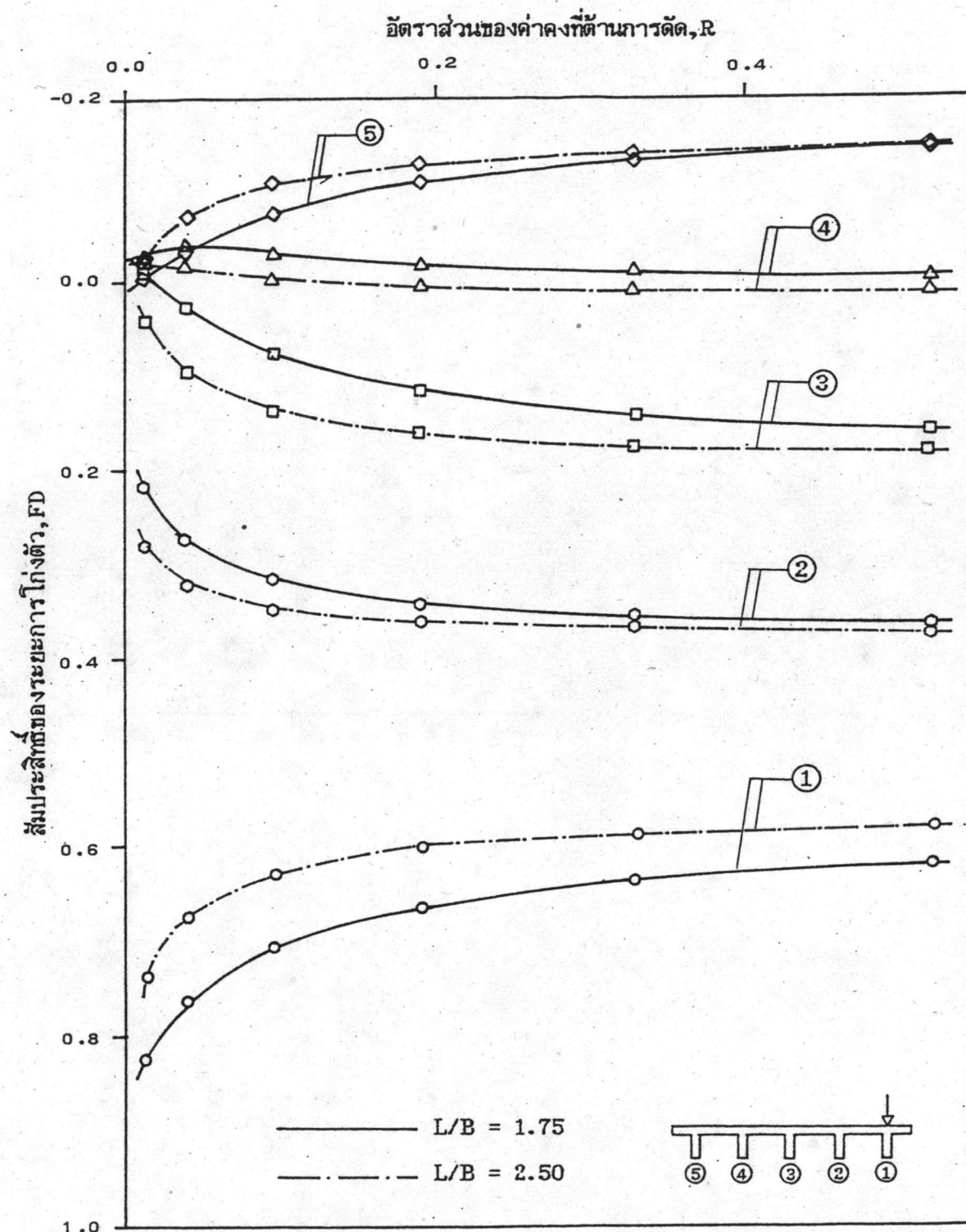


อัตราส่วนของค่าคงที่ต้านการดัด, R

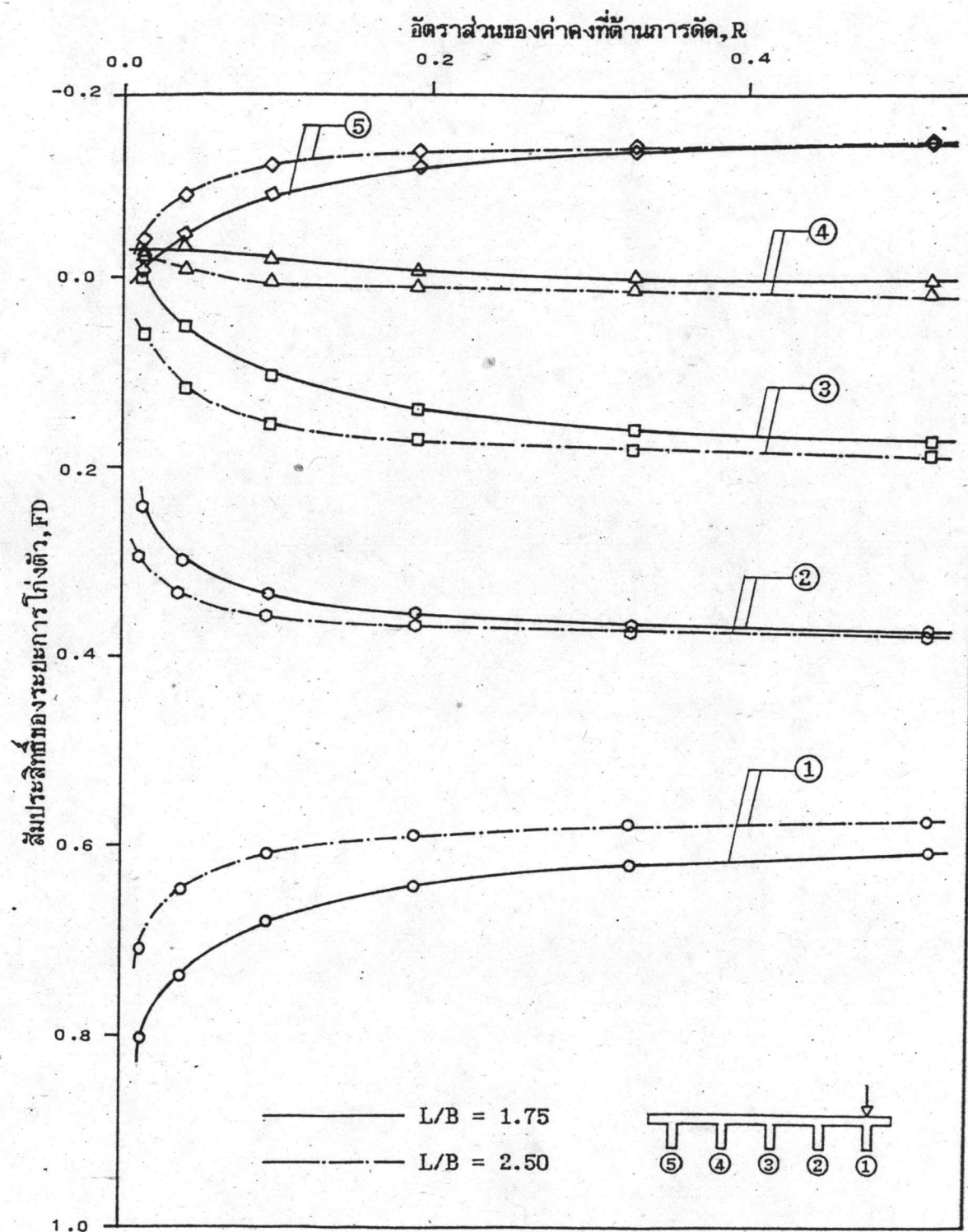
รูปที่ 2.27 สัมประสิทธิ์ของ โนเมนต์บิดตามอัตราส่วนของค่าคงที่ต้านการดัด  
(จำนวนคานห่วง = 5)



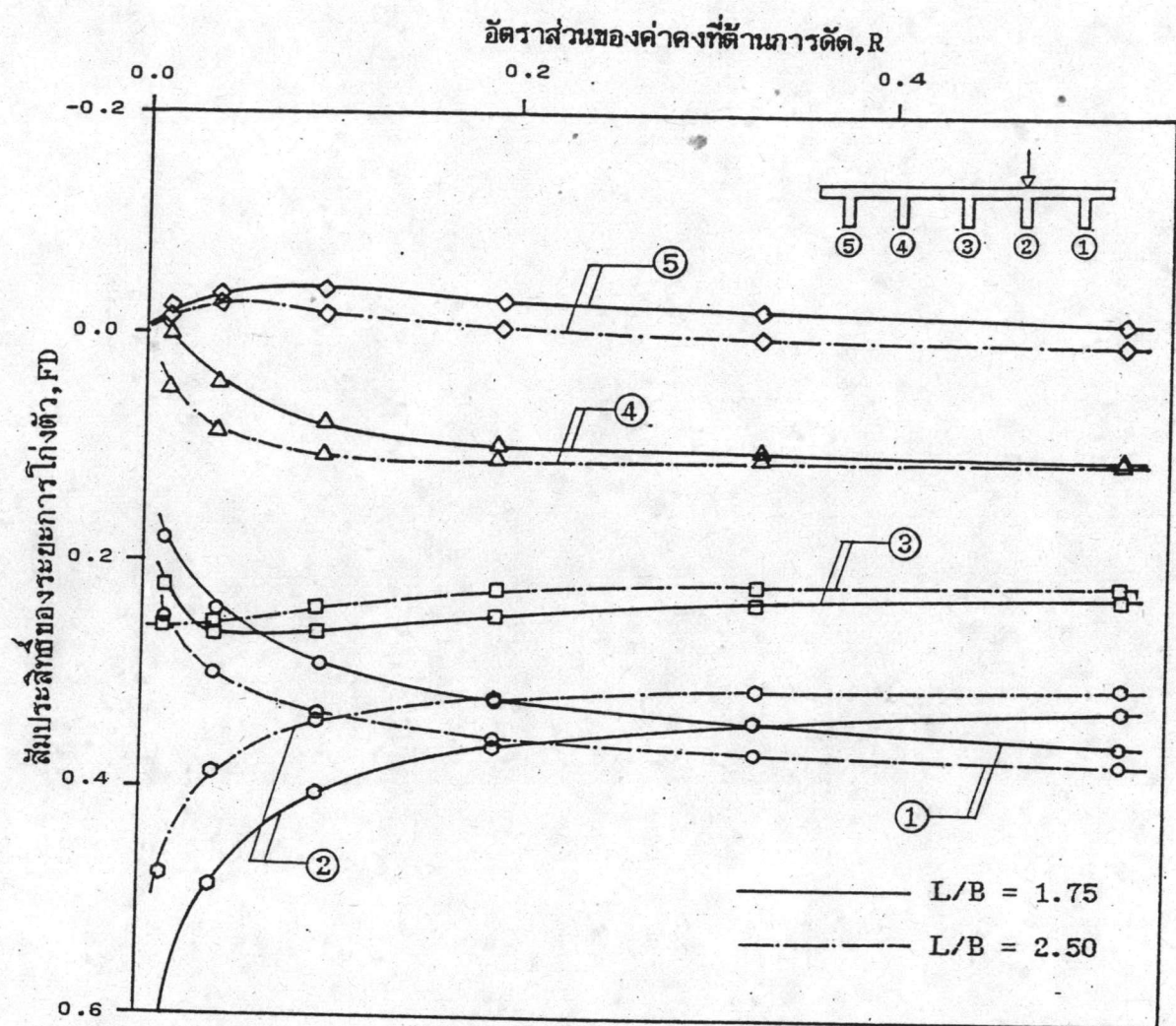
รูปที่ ภ.28 สัมประสิทธิ์ของระบบการโค้งตัวตามอัตราส่วนของค่าคงที่ต้านการดัด  
(จำนวนความกว้าง = 1)



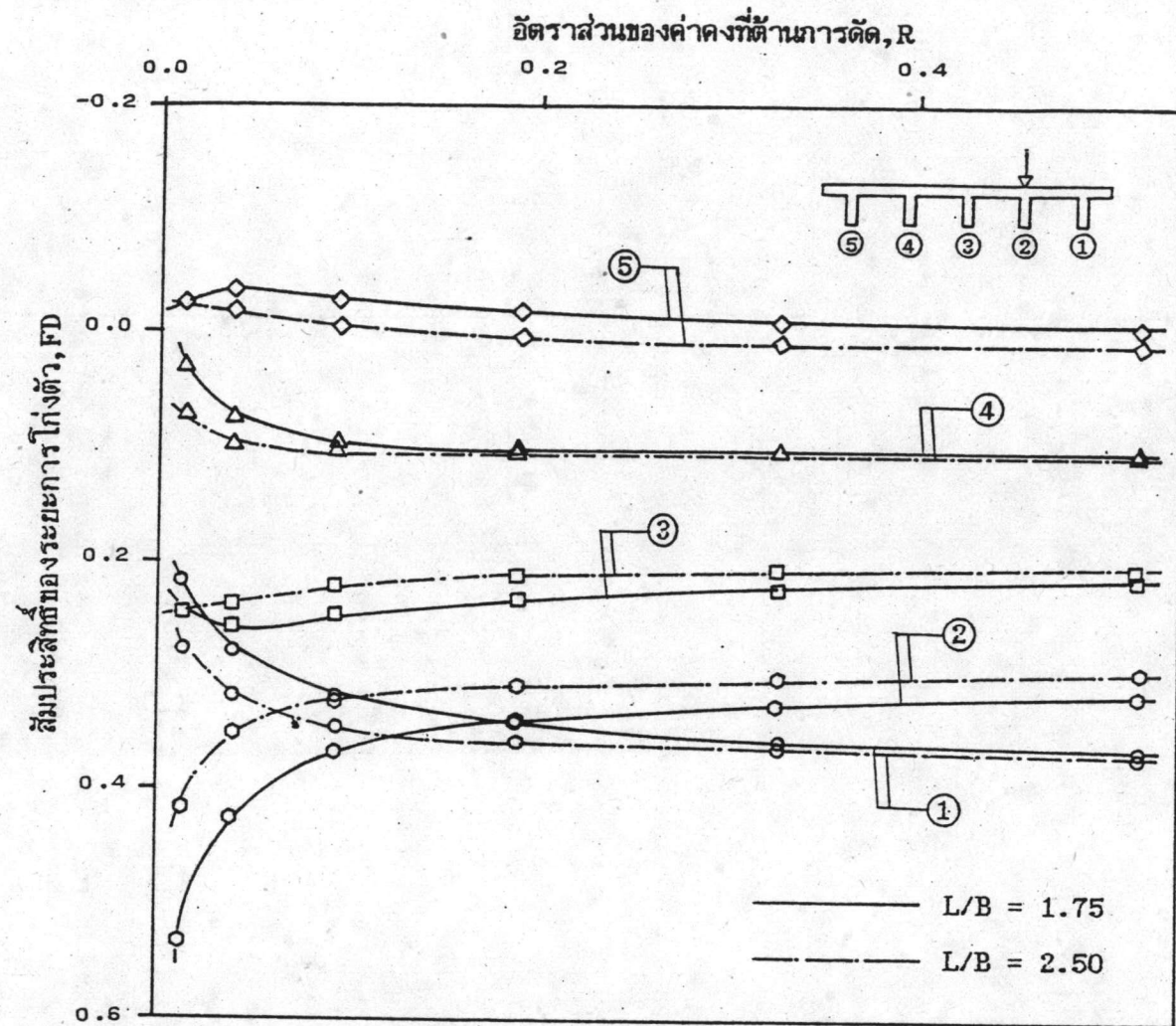
รูปที่ ๒.๒๙ สัมประสิทธิ์ของรั้งตัวตามอัตราส่วนของค่าคงที่ต้านการดัด  
(จำนวนค่านานาจوان = ๓)



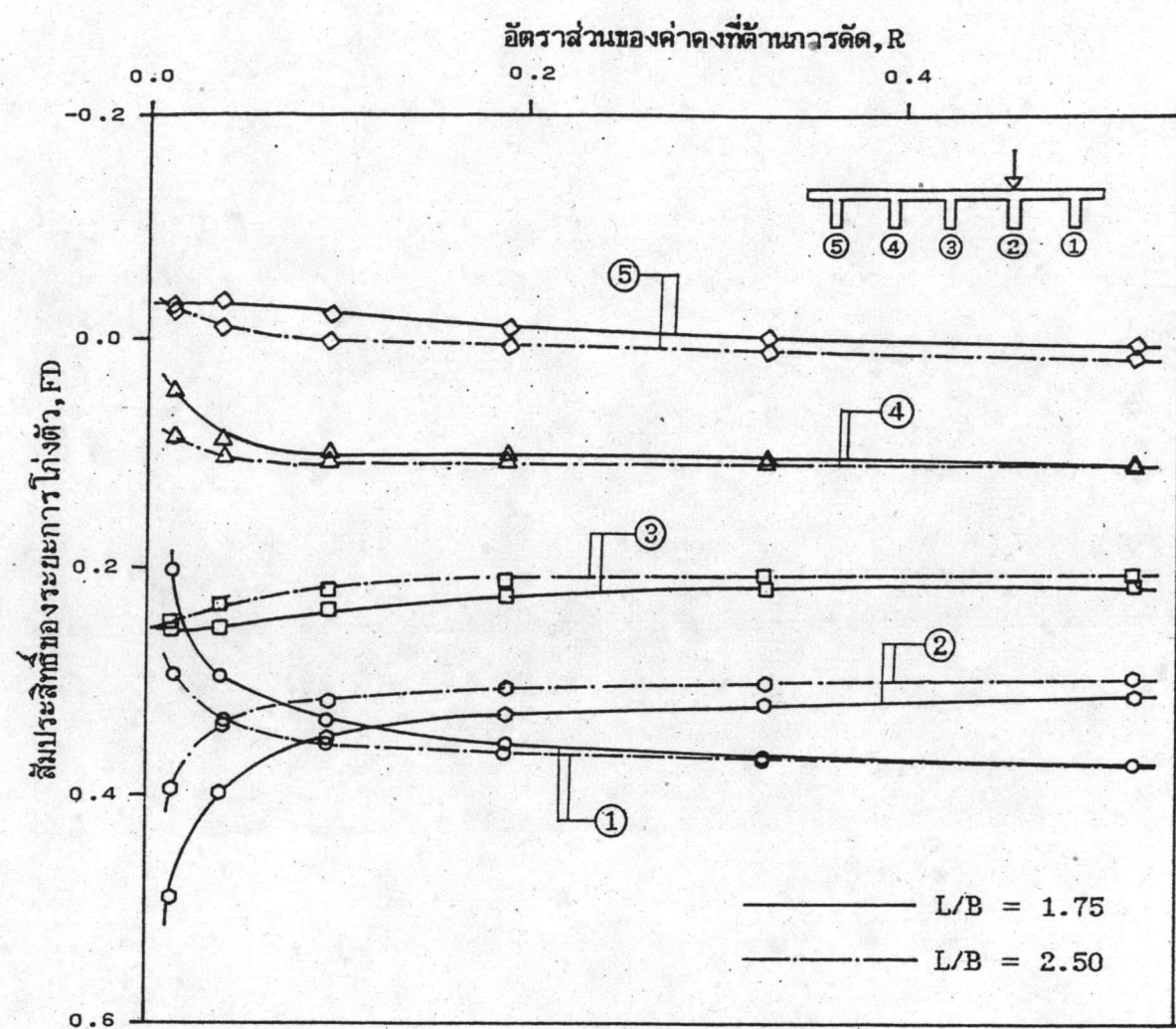
รูปที่ ॥.30 สัมประสิทธิ์ของระยะห่างการโถงตัวตามอัตราส่วนของค่าคงที่ต้านการดัด  
(จำนวนค่าน้ำหนัก = 5)



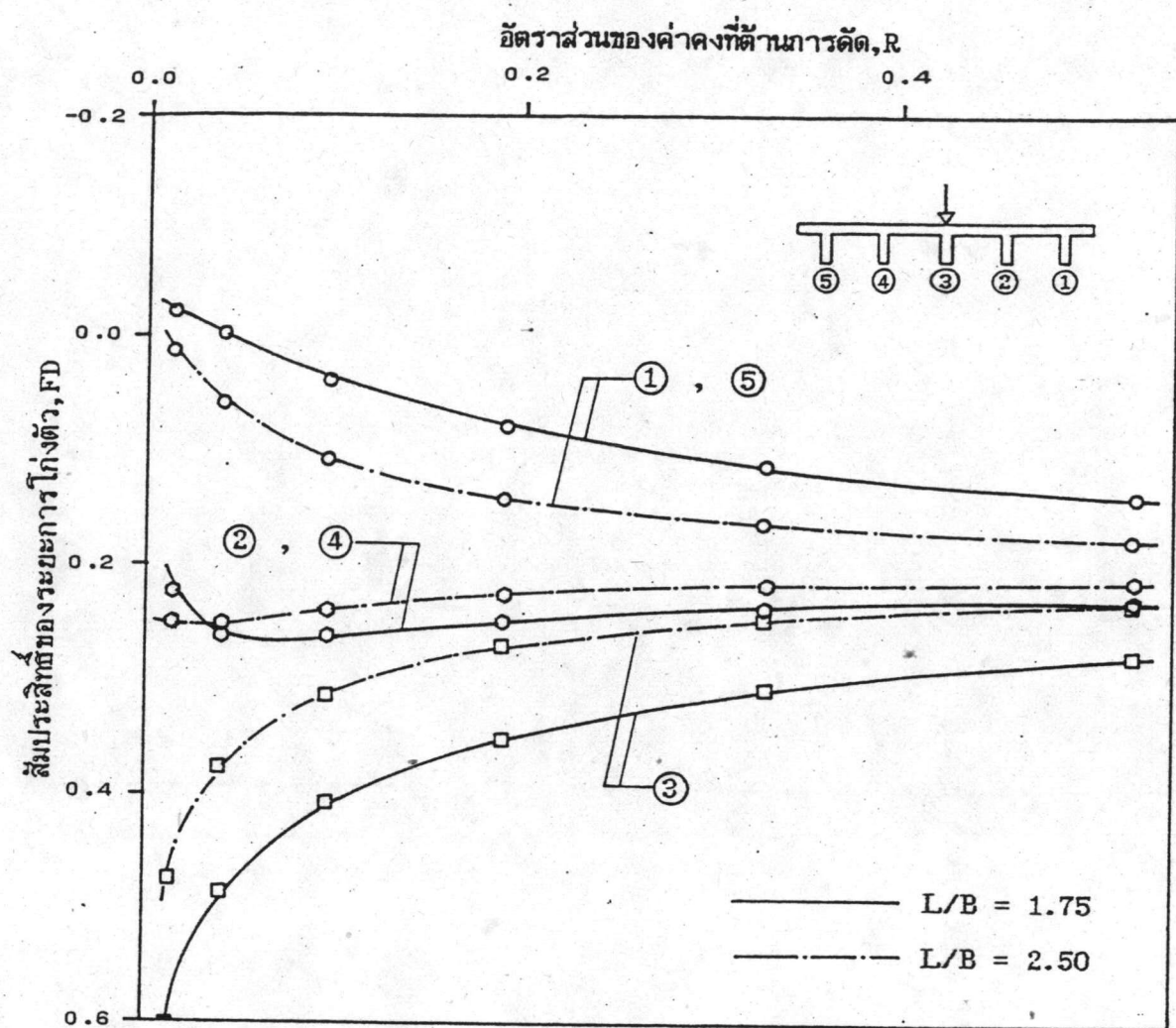
รูปที่ ॥.31 สัมประสิทธิ์ของระดับการโค้งตัวตามอัตราส่วนของค่าคงที่ต้านการดัด  
(จำนวนค่าขวาง = 1)



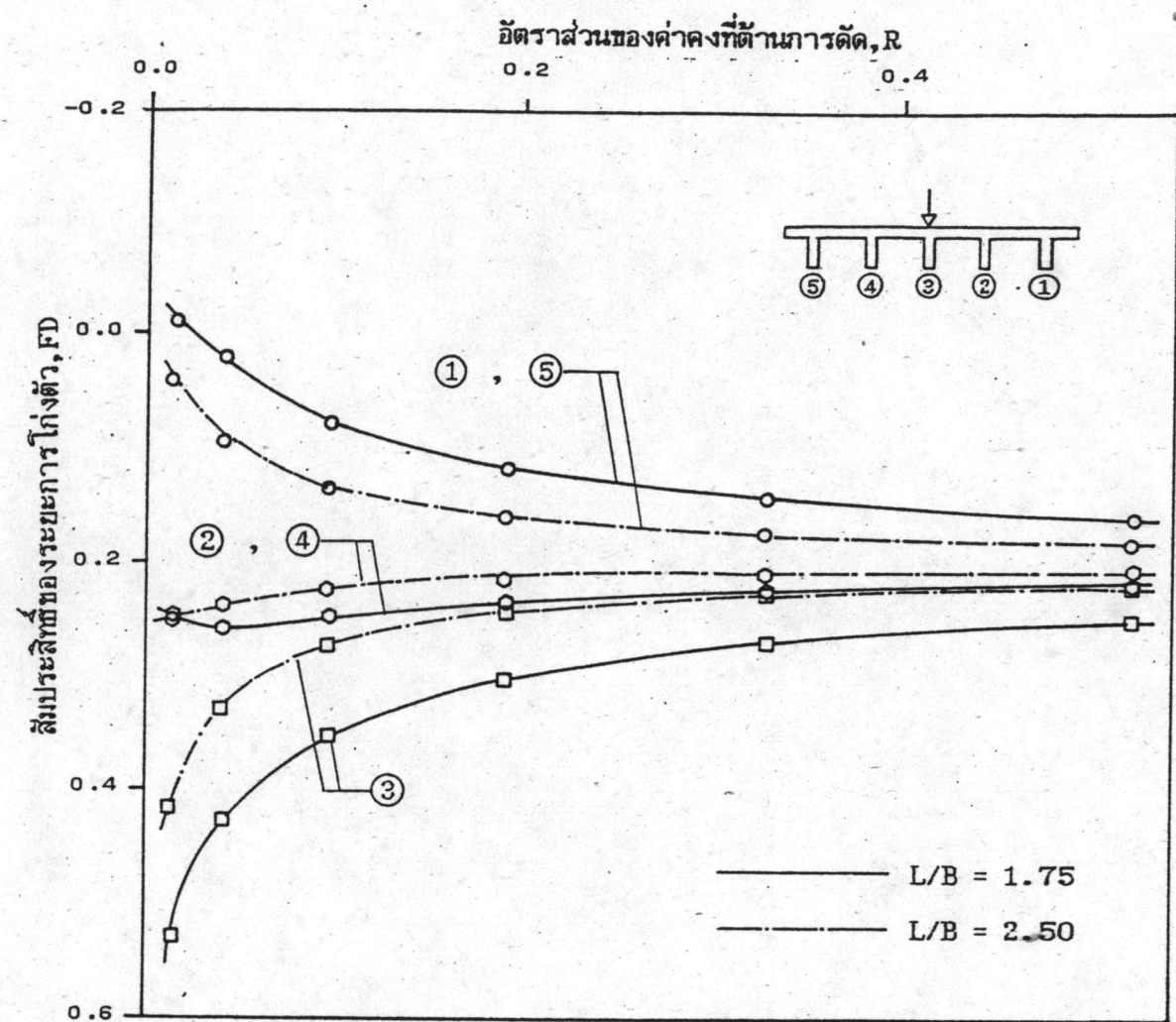
รูปที่ ॥.32 สัมประสิทธิ์ของระหบการไก่ตัวตามอัตราส่วนของค่าคงที่ต้านการดัด  
(จำนวนคานขาวง = 3)



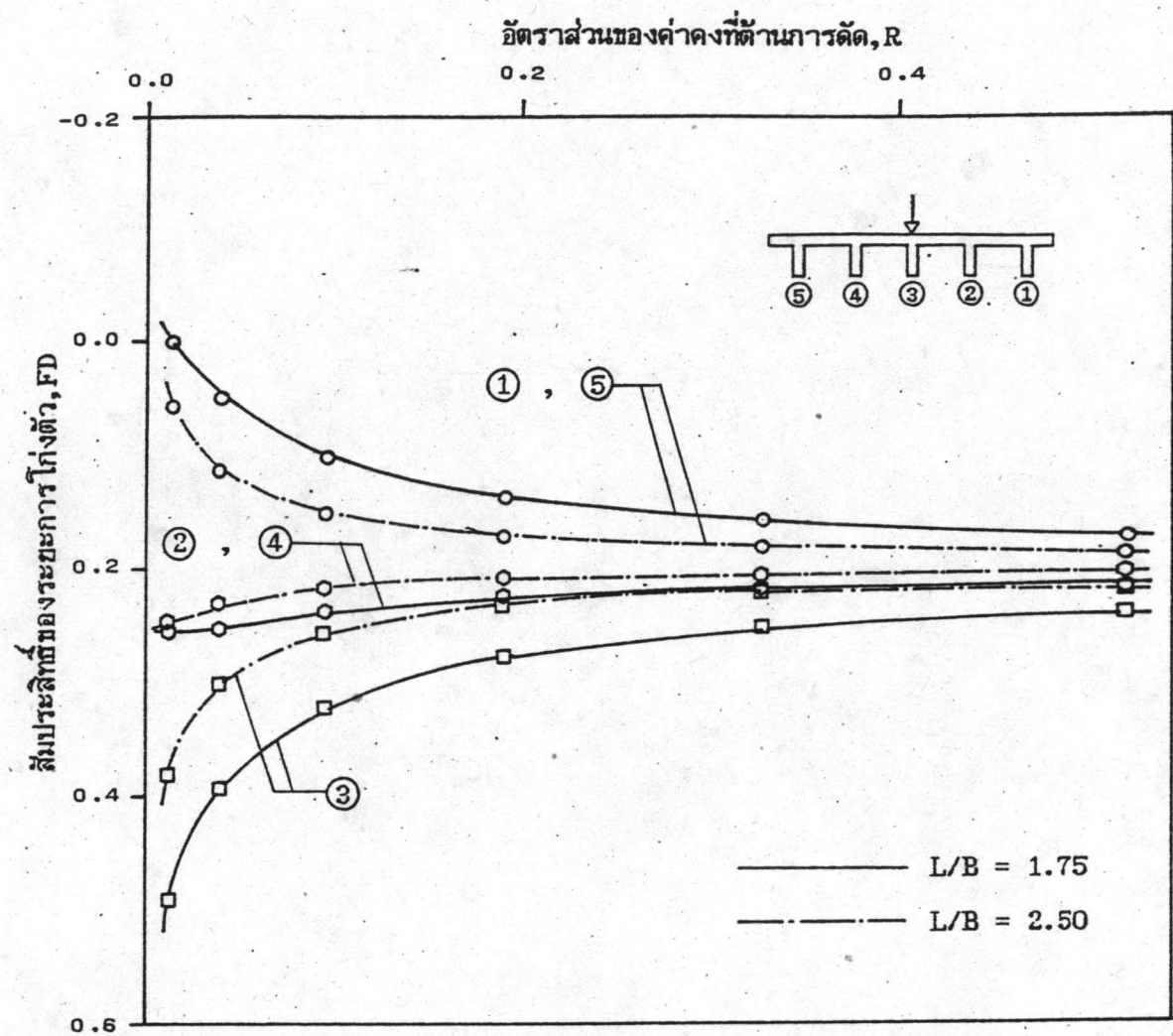
รูปที่ ॥.33 สัมประสิทธิ์ของการต้านทานตามอัตราส่วนของค่าคงที่ต้านการตัด  
(จำนวนคานช่วง = 5)



รูปที่ ๓.๔ สัมประสิทธิ์ของแรงยึดการโถงตัวตามอัตราส่วนของค่าคงที่ต้านการดัด  
(จำนวนความยาว = ๑)



รูปที่ ॥.35 สัมประสิทธิ์ของแรงทางไก่ตัวตามอัตราส่วนของค่าคงที่ต้านการตัด  
(จำนวนค่านานาจوان = 3)



รูปที่ ॥.36 สัมประสิทธิ์ของระบบการโค้งตัวตามอัตราส่วนของค่าคงที่ต้านการดัด  
(จำนวนค่าน้ำหนัก = 5)



ประวัติผู้เขียน

นายกรุงศรี ตันเนียม เกิดวันที่ 13 พฤษภาคม พ.ศ. 2507 สำเร็จการศึกษาได้รับปริญญาวิศวกรรมศาสตรบัณฑิต จากมหาวิทยาลัยเชียงใหม่ เมื่อปีการศึกษา 2528 และได้เข้าศึกษาต่อที่นิยมปริญญาวิศวกรรมศาสตรมหาบัณฑิต ณ มหาวิทยาลัยจุฬาลงกรณ์มหาวิทยาลัย ในปีการศึกษา 2529